



TUGAS AKHIR - TE 141599

**STUDI KOORDINASI PROTEKSI PADA PT. PETROKIMIA
GRESIK AKIBAT PENAMBAHAN BEBAN PABRIK DAN
GENERATOR 1 X 26.8 MW**

Teuku Muhammad Kemal Isfan
NRP 2213 100 179

Dosen Pembimbing
Dr. Ir. Margo Pujiyantara, MT
Dr. Dimas Anton Asfani, ST., MT

DEPARTEMEN TEKNIK ELEKTRO
Fakultas Teknologi Elektro
Institut Teknologi Sepuluh Nopember
Surabaya 2017



Final Project - TE 141599

**STUDY OF PROTECTION COORDINATION IN PT.
PETROKIMIA GRESIK DUE TO ADDITION OF NEW LOAD
AND 1x26.8 MW GENERATOR**

Teuku Muhammad Kemal Isfan
NRP 2213 100 179

Advisor

Dr. Ir. Margo Pujiantara, M.T.
Dr. Dimas Anton Asfani, ST., MT

DEPARTMENT OF ELECTRICAL ENGINEERING
Faculty of Electrical Technology
Institut Teknologi Sepuluh Nopember
Surabaya 2017

PERNYATAAN KEASLIAN TUGAS AKHIR

Dengan ini saya menyatakan bahwa isi sebagian maupun keseluruhan Tugas Akhir saya dengan judul "**Studi Koordinasi Proteksi pada PT. Petrokimia Gresik Akibat Penambahan Beban Pabrik dan Generator 1x26.8 MW**" adalah benar-benar hasil karya intelektual mandiri, diselesaikan tanpa menggunakan bahan-bahan yang tidak diijinkan dan bukan merupakan karya pihak lain yang saya akui sebagai karya sendiri.

Semua referensi yang dikutip maupun dirujuk telah ditulis secara lengkap pada daftar pustaka. Apabila ternyata pernyataan ini tidak benar, saya bersedia menerima sanksi sesuai peraturan yang berlaku.

Surabaya, Juli 2017

Teuku Muhammad Kemal Isfan
NRP 2213100179

**STUDI KOORDINASI PROTEKSI PADA PT. PETROKIMIA
GRESIK AKIBAT PENAMBAHAN BEBAN PABRIK DAN
GENERATOR 1X26.8 MW**

TUGAS AKHIR

Diajukan Guna Memenuhi Sebagian Persyaratan
Untuk Memperoleh Gelar Sarjana Teknik
Pada
Bidang Studi Teknik Sistem Tenaga
Departemen Teknik Elektro
Institut Teknologi Sepuluh Nopember

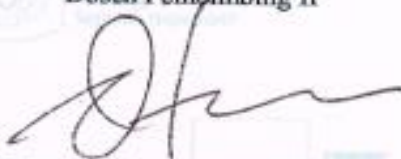
Menyetujui:

Dosen Pembimbing I

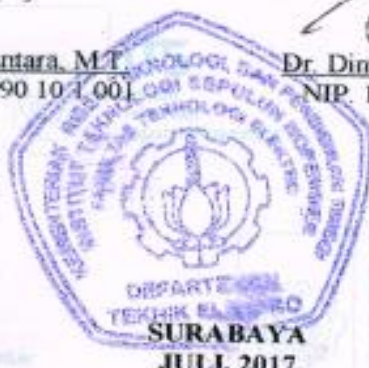


Dr. Ir. Margo Pujiantara, M.T.
NIP. 1966 03 18 1990 10 1 001

Dosen Pembimbing II



Dr. Dimas Anton Asfani, ST., MT.
NIP. 1981 09 05 2005 01 1 002



**STUDI KOORDINASI PROTEKSI PADA PT.
PETROKIMIA GRESIK AKIBAT PENAMBAHAN BEBAN
PABRIK DAN GENERATOR 1X26.8 MW**

Nama : Teuku Muhammad Kemal Isfan
Pembimbing I : Dr. Ir. Margo Pujiantara, MT.
Pembimbing II : Dr. Dimas Anton Asfani, ST., MT.

ABSTRAK

PT. Petrokimia Gresik adalah salah satu perusahaan produsen pupuk di Indonesia yang termasuk dalam anak perusahaan PT. Pupuk Indonesia Holding Company (PIHC). Untuk memenuhi kebutuhan pupuk nasional dan mengurangi ketergantungan impor bahan baku pupuk, PT. Petrokimia Gresik sedang melakukan ekspansi dengan membangun pabrik baru Amurea II yang kebutuhan energinya akan disuplai oleh PT. Pupuk Indonesia Energi melalui proyek *Independent Power Producer (IPP)* yaitu *Gresik Gas Cogeneration Plant (GGCP)* sebesar 26.8 MW. Dalam dunia industri, kontinuitas proses produksi sangat bergantung kepada ketersediaan tenaga listrik. Kontinuitas tersebut dapat dijaga dengan menggunakan sistem proteksi tenaga listrik yang efektif dan selektif. Akibat pembangunan pabrik Amurea II dan *IPP GGCP*, dapat mengakibatkan diperlukannya *setting* koordinasi proteksi yang berbeda dari keadaan sebelumnya, oleh karena itu perlu diadakan evaluasi rating hubung singkat peralatan *eksisting* dan level hubung singkat di titik-titik sambungan baru untuk perencanaan rating peralatan baru yang akan dipasang. Pada tugas akhir ini dilakukan studi koordinasi proteksi untuk mengetahui *setting* rele yang tepat setelah dilakukan penambahan pabrik Amurea II serta pembangkitan dari *IPP Gresik Gas Cogeneration Plant*. Hasil koordinasi proteksi ini dapat melindungi dari gangguan arus lebih berupa arus beban lebih dan arus hubung singkat.

Kata Kunci: Rele Pengaman, Koordinasi Proteksi, Arus Lebih.

Halaman ini sengaja dikosongkan

***STUDY OF PROTECTION COORDINATION IN PT.
PETROKIMIA GRESIK DUE TO ADDITION OF NEW LOAD
AND 1x26.8 MW GENERATOR***

Name : Teuku Muhammad Kemal Isfan
Advisor I : Dr. Ir. Margo Pujiantara, MT.
Advisor II : Dr. Dimas Anton Asfani, ST., MT.

ABSTRACT

PT. Petrokimia Gresik is one of fertilizer producer company in Indonesia which is structurally under PT. Pupuk Indonesia Holding Company (PIHC). To provide national need of fertilizer and to reduce the imports dependency of fertilizer raw materials, PT. Petrokimia Gresik is currently expanding by building a new fertilizer factory Amurea II, which later would be powered by an Independent Power Producer(IPP) Gresik Gas Cogeneration Plant (GGCP) with the capacity of 26.8 MW. In undustrial world, the production continuity is heavily dependent on the availability of electrical power. That continuity could be maintained by having an effective and selective electrical power protection system. The construction of Amurea II factory and IPP GGCP could result into the need of new protection coordination setting, so there is a need to evaluate the short circuit rating of existing equipment and short circuit level at new connection points for planning the rating of new equipments to be installed. Study of protection coordination will be conducted in this final project to determine the proper relay setting by considering the addition of Amurea II factory and Independent Power Producer Gresik Gas Cogeneration Plant. The result of this protection coordination would later be able to protect the system from overcurrent faults including overload and short circuit faults.

Keywords : Protection Relay, Protection Coordination, Overcurrent.

Halaman ini sengaja dikosongkan

KATA PENGANTAR

Alhamdulillaahi Robbil 'Alamin, segala puji dan syukur dipanjangkan kehadirat Allah SWT atas limpahan rahmat dan karunianya sehingga penulis dapat menyelesaikan Tugas Akhir yang berjudul “Studi Koordinasi Pada PT. Petrokimia Gresik Akibat Penambahan Beban Pabrik dan Generator 1x26.8 MW”. Adapun tujuan dari penyusunan Tugas Akhir ini adalah sebagai salah satu persyaratan untuk mendapatkan gelar sarjana teknik pada bidang studi Teknik Sistem Tenaga, Departemen Teknik Elektro, Fakultas Teknologi Elektro, Institut Teknologi Sepuluh Nopember Surabaya.

Dalam kesempatan ini penulis ingin mengucapkan terima kasih kepada pihak-pihak yang banyak berjasa terutama dalam penyusunan tugas Akhir ini, yaitu :

1. Allah SWT dan junjungan nabi besar Muhammad SAW.
2. Segenap keluarga besar Teuku Abdullah Ben Peukan dan keluarga besar Yahya bin Duchan.
3. Kedua orang tua tercinta, bapak Teuku Derry Ananta dan ibu Yenni Vitaria, serta kakak dan adik tercinta, Cut Naila Febrininta dan Teuku Muhammad Rafi Ihsan yang selalu memberikan dukungan, semangat, bimbingan, dan doa untuk keberhasilan penulis.
4. Bapak Dr. Ir. Margo Pujiantara, MT. dan Bapak Dr. Dimas Anton Asfani, ST., MT. selaku dosen pembimbing yang telah banyak memberikan ilmu, saran, serta bimbingannya.
5. Dwangga, Ridho, Bobby, Faiz, Mahardika, Evianto, dan Imandio selaku rekan-rekan dari SMAN 8 Jakarta yang kemudian menjadi teman seperjuangan di kampus perjuangan ITS.
6. Faiz, Dwika, Kevin, Ivan, Krishanti, Fidel, Bia, Claudia, Della, dan Hana yang telah menjadi teman susah dan senang selama 4 tahun menuntut ilmu di Surabaya.
7. Seluruh rekan asisten LIPIST atas dukungan, semangat, bantuan, kebersamaan, dan kerjasama selama ini.
8. Seluruh rekan E-53, rekan-rekan HIMATEKTRO serta warga Fakultas Teknologi Elektro atas kebersamaan dan kerjasamanya selama 4 tahun ini.
9. Seluruh keluarga besar BANGERS dan C2H5 atas segala dukungan dan bantuan selama penulis menjalani perkuliahan di Departemen Teknik Elektro Institut Teknologi Sepuluh Nopember Surabaya.

Besar harapan penulis agar tugas akhir ini dapat memberikan manfaat dan masukan bagi banyak pihak. Oleh karena itu penulis mengharapkan kritik, koreksi, dan saran dari pembaca yang bersifat membangun untuk pengembangan ke arah yang lebih baik.

Surabaya, Mei 2017

Penulis

DAFTAR ISI

HALAMAN

JUDUL

LEMBAR PERNYATAAN HALAMAN PENGESAHAN

ABSTRAK	i
ABSTRACT	iii
KATA PENGANTAR.....	v
DAFTAR ISI.....	vii
DAFTAR GAMBAR.....	ix
DAFTAR TABEL	xi

BAB 1 PENDAHULUAN

1.1. Latar Belakang.....	1
1.2. Rumusan Masalah	2
1.3. Tujuan.....	2
1.4. Batasan Masalah.....	2
1.5. Metodologi	3
1.6. Sistematika Penulisan	5
1.7. Manfaat.....	5

BAB 2 KOORDINASI PROTEKSI SISTEM KELISTRIKAN

2.1. Gangguan Sistem Tenaga Listrik.....	7
2.2. Penyebab Gangguan Arus Lebih pada Sistem Tenaga Listrik.....	8
2.2.1. Gangguan Beban Lebih	8
2.2.2. Gangguan Hubung Singkat.....	8
2.3. Perhitungan Arus Hubung Singkat	9
2.4. Rele Arus Lebih.....	11
2.4.1. Rele Arus Lebih Waktu Invers	11
2.4.2. Rele Arus Lebih Waktu Instan	12
2.4.3. Rele Arus Lebih Waktu Tertentu	13
2.5. Pengaturan Rele Arus Lebih.....	14
2.5.1. Pengaturan Rele Arus Lebih Waktu Invers	14
2.5.2. Pengaturan Rele Arus Lebih Waktu Instan/Tertentu	15
2.5.3. Koordinasi Berdasarkan Arus dan Waktu	15
2.6. Rele Gangguan Tanah	16
2.7. Pengaturan Rele Gangguan Tanah.....	17
2.8. Transformator Pentahanan.....	17

BAB 3 SISTEM KELISTRIKAN PT. PETROKIMIA GRESIK

3.1. Sistem Kelistrikan PT. Petrokimia Gresik.....	19
3.2. Rangkuman Pembangkitan, Pembebanan, dan <i>Demand</i>	20
3.3. Kapasitas Pembangkitan	21
3.4. Sistem Distribusi pada PT. Petrokimia Gresik	22
3.5. Sistem Pengaman Arus Lebih	24

BAB 4 HASIL SIMULASI DAN SETTING KOORDINASI RELE PROTEKSI PADA PT. PETROKIMIA GRESIK

4.1. Pemodelan Sistem Kelistrikan PT.Petrokimia Gresik	25
4.2. Pemilihan Tipikal Koordinasi pada PT. Petrokimia Gresik	25
4.3. Analisis Arus Gangguan Hubung Singkat	28
4.3.1 Analisis Hubung Singkat Minimum 30 <i>Cycle</i>	28
4.3.2 Analisis Hubung Singkat Maksimum 4 <i>Cycle</i>	31
4.4. Koordinasi Rele Arus Lebih Untuk Gangguan Fasa.....	33
4.4.1. Koordinasi Rele Arus Lebih Gangguan Fasa Tipikal 1 ..	33
4.4.2. Koordinasi Rele Arus Lebih Gangguan Fasa Tipikal 2 ...	42
4.4.3. Koordinasi Rele Arus Lebih Gangguan Fasa Tipikal 3 ...	49
4.4.4. Koordinasi Rele Arus Lebih Gangguan Fasa Tipikal 4 ...	56
4.5. Analisis Koordinasi Proteksi pada Sistem Kelistrikan baru	63
4.5.1 Studi Koordinasi Rele Proteksi Baru Terhadap Gangguan pada Bus HVS-00-20kV/GI A.....	63
4.5.1 Studi Koordinasi Rele Proteksi Baru Terhadap Gangguan pada Bus UBB 20kV A.....	65
4.6. Koordinasi Rele Arus Lebih Gangguan ke Tanah.....	67
4.6.1. Koordinasi Rele Arus Lebih Gangguan Tanah Tipikal 7..	68
4.6.2. Koordinasi Rele Arus Lebih Gangguan Tanah Tipikal 6..	71
4.6.3. Koordinasi Rele Arus Lebih Gangguan Tanah Tipikal 5..	74
4.7. Rekapitulasi Setting Rele Arus Lebih	77

BAB 5 PENUTUP

5.1. Kesimpulan	81
5.2. Saran.....	82

DAFTAR PUSTAKA.......... 83

BIOGRAFI PENULIS

LAMPIRAN

DAFTAR GAMBAR

HALAMAN

Gambar 1.1	Diagram alir metodologi penggeraan tugas akhir	3
Gambar 2.1	Karakteristik <i>standard inverse</i> , <i>very inverse</i> , dan <i>extremely inverse</i>	12
Gambar 2.2	Karakteristik rele arus lebih instan	12
Gambar 2.3	Kombinasi IDMT dengan rele arus lebih waktu instan	13
Gambar 2.4	Karakteristik rele arus lebih waktu tertentu	13
Gambar 2.5	Rele arus lebih pengamanan trafo	16
Gambar 3.1	Sistem Kelistrikan <i>Existing</i> PT. Petrokimia Gresik	19
Gambar 3.2	Sistem Kelistrikan Baru PT. Petrokimia Gresik	20
Gambar 4.1	Tipikal koordinasi rele arus lebih fasa PT. Petrokimia Gresik	27
Gambar 4.2	Tipikal koordinasi rele arus lebih gangguan ke tanah PT. Petrokimia Gresik	27
Gambar 4.3	Rangkaian <i>single line diagram</i> tipikal 1	33
Gambar 4.4	Plot <i>Time-current curve</i> tipikal 1	41
Gambar 4.5	Rangkaian <i>single line diagram</i> tipikal 2	42
Gambar 4.6	Plot <i>Time-current curve</i> tipikal 2	48
Gambar 4.7	Rangkaian <i>single line diagram</i> tipikal 3	49
Gambar 4.8	Plot <i>Time-current curve</i> tipikal 3	55
Gambar 4.9	Rangkaian <i>single line diagram</i> tipikal 4	56
Gambar 4.10	Plot <i>Time-current curve</i> tipikal 4	62
Gambar 4.11	Arus kontribusi GGCP ketika gangguan pada Bus GI ...	63
Gambar 4.12	Koordinasi rele baru terhadap gangguan pada Bus GI ..	64
Gambar 4.13	Arus kontribusi GGCP gangguan pada Bus UBB	65
Gambar 4.14	Koordinasi rele baru terhadap gangguan Bus UBB	66
Gambar 4.15	Rangkaian <i>single line diagram</i> tipikal gabungan	67
Gambar 4.16	Rangkaian <i>single line diagram</i> tipikal 7	68
Gambar 4.17	Plot <i>Time-current curve</i> tipikal 7	70
Gambar 4.18	Rangkaian <i>single line diagram</i> tipikal 6	71
Gambar 4.19	Plot <i>Time-current curve</i> tipikal 6	73
Gambar 4.20	Rangkaian <i>single line diagram</i> tipikal 5	74
Gambar 4.21	Plot <i>Time-current curve</i> tipikal 5	76

Halaman Ini Sengaja Dikosongkan

DAFTAR TABEL

HALAMAN

Tabel 2.1 Gambar rangkaian dan persamaan gangguan hubung singkat	9
Tabel 2.2 Koefisien invers <i>time dial</i>	15
Tabel 3.1. Jumlah total pembangkitan, pembebanan, dan <i>Demand</i>	20
Tabel 3.2. Data Kapasitas Pembangkit pada PT. Petrokimia Gresik....	21
Tabel 3.3. Data Transformator Distribusi yang Digunakan pada Jaringan Interkoneksi di PT. Petrokimia Gresik.....	22
Tabel 4.1. Data arus hubung singkat minimum pada bus utama.....	28
Tabel 4.2. Data arus hubung singkat minimum melewati rele pada masing masing tipikal	29
Tabel 4.3. Data arus hubung singkat maksimum melewati rele pada masing masing tipikal	30
Tabel 4.4. Data arus hubung singkat maksimum <i>4 cycle</i> pada bus utama	31
Tabel 4.5. Data arus hubung singkat <i>4 cycle</i> melewati rele pada masing masing tipikal	32
Tabel 4.6. Tabel Rekapitulasi <i>Setting</i> Rele Arus Lebih	73

Halaman Ini Sengaja Dikosongkan

BAB 1

PENDAHULUAN

1.1 Latar Belakang

Suatu industri skala besar tentunya juga memiliki sistem kelistrikan yang besar untuk memenuhi kebutuhan daya listrik dalam proses produksinya. Dalam sistem kelistrikan suatu industri kontinuitas pasokan daya listrik dan keandalan sistem kelistrikan tersebut menjadi sangat penting untuk menjaga kontinuitas produksi, oleh karena itu dibutuhkan koordinasi pengaman yang baik dan handal. Ketika terjadi gangguan, diharapkan pemutus atau *circuit breaker(CB)* yang terletak paling dekat dengan titik terjadinya gangguan akan bekerja. Jika CB tersebut gagal bekerja, maka CB terdekat setelahnya harus dapat bekerja sebagai *back-up*.

Untuk memenuhi kebutuhan pupuk nasional dan mengurangi ketergantungan impor bahan baku pupuk, PT. Petrokimia Gresik sedang melakukan ekspansi dengan membangun pabrik baru *Amurea II*. Dengan meningkatnya kebutuhan energi dari PT. Petrokimia Gresik akibat pembangunan pabrik *Amurea II*, PT. Pupuk Indonesia Energi saat ini sedang melakukan proyek *Independent Power Producer (IPP)* yaitu *Gresik Gas Cogeneration Plant(GGCP)*.

PT. Petrokimia Gresik saat ini memiliki 4 pabrik industri yang sistem tenaganya disuplai oleh PLN serta 6 pembangkit mandiri. Pembangunan proyek IPP dengan kapasitas pembangkitan 26.8 MW tersebut kemudian akan terintegrasi dengan sistem *existing* melalui Bus 11A yang terdapat pada pabrik Amurea II. Keadaan tersebut membuat *setting* koordinasi proteksi pada PT. Petrokimia Gresik mengalami perubahan dari keadaan sebelumnya, oleh karena itu perlu dilakukan evaluasi rating hubung singkat peralatan eksisting dan level hubung singkat di titik-titik sambungan baru untuk perencanaan rating peralatan baru yang akan dipasang.

Pada tugas akhir ini dilakukan studi koordinasi proteksi untuk mengetahui *setting* rele yang tepat setelah dilakukan penambahan beban serta pembangkitan pada sistem kelistrikan PT. Petrokimia Gresik. Hasil koordinasi proteksi ini dapat melindungi dari gangguan berupa arus beban lebih dan arus hubung singkat.

1.2 Rumusan Masalah

Permasalahan yang dibahas dalam Tugas Akhir ini adalah:

1. Sistem kelistrikan di PT Petrokimia Gresik setelah dibangun *IPP Gresik Gas Cogeneration Plant* dan *Amurea II*.
2. Studi mengenai analisis arus hubung singkat pada PT. Petrokimia Gresik setelah dibangun *IPP Gresik Gas Cogeneration Plant* dan *Amurea II*.
3. Koordinasi rele arus lebih dan rele gangguan ke tanah pada *typical* yang ditentukan di PT Petrokimia Gresik dengan menggunakan nilai yang didapatkan dari perhitungan dan disimulasikan menggunakan *software ETAP*

1.3 Tujuan

Tujuan dari Tugas Akhir ini diharapkan sebagai berikut:

1. Memodelkan, mensimulasikan serta menganalisis sistem kelistrikan pada pada PT. Petrokimia Gresik setelah pembangunan *Independent Power Plant Gresik Gas Cogeneration Plant (IPP GGCP)* dan pabrik *Amurea II*.
2. Mendapatkan *setting* yang tepat, cepat, dan handal dari koordinasi rele arus lebih dan rele gangguan ke tanah yang tepat pada sistem kelistrikan akibat pembangunan pabrik *Amurea II* dan *IPP Gresik Gas Cogeneration Plant* pada PT. Petrokimia Gresik.

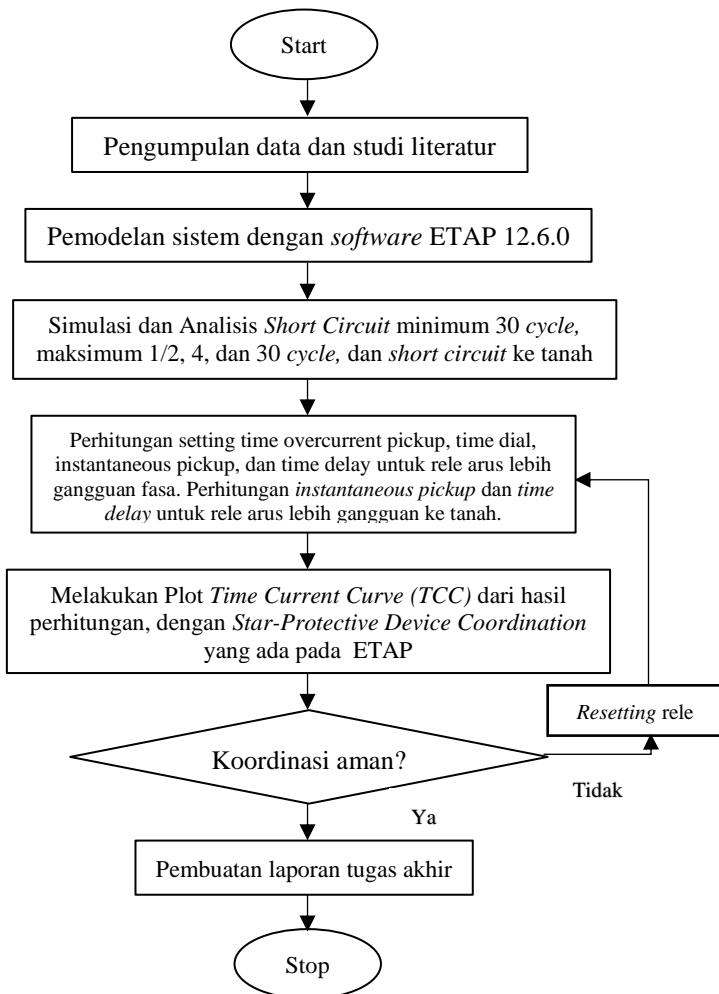
1.4 Batasan Masalah

Batasan masalah dari Tugas Akhir ini adalah sebagai berikut :

1. Studi koordinasi proteksi yang dilakukan pada tugas akhir ini hanya pada bagian *Medium Voltage* / Jaringan Interkoneksi PT. Petrokimia Gresik.
2. Pengaturan rele pengaman dilakukan dengan asumsi rele pengaman pada bagian *low voltage* / sistem kelistrikan pabrik sudah terkoordinasi dengan baik.
3. Pengaturan dan koordinasi rele yang dilakukan pada Tugas Akhir ini hanya dilakukan pada rele arus lebih.

1.5 Metodologi

Gambar 1.1 merupakan diagram alir metodologi penyusunan tugas akhir



Gambar 1.1 Diagram alir metodologi penggerjaan tugas akhir

Metode penelitian yang digunakan pada tugas akhir ini sebagai berikut :

1. Pengumpulan data dan Studi Literatur

Mengumpulkan data – data mengenai sistem kelistrikan PT. Petrokimia Gresik seperti *single line diagram*, rating kabel, transformator, generator, motor, *bus*, rele dan sistem pentanahan akan digunakan dalam pemodelan sistem pada simulasi. Data rating yang dibutuhkan berupa manufaktur, kV rating, pf rating, *Full Load Ampere (FLA)*, impedansi, daya dan hubungan belitan pada transformator, motor dan generator. Kemudian mengumpulkan buku serta referensi yang berhubungan dengan koordinasi proteksi.

2. Pemodelan sistem dengan software ETAP 12.6.0

Memodelkan sistem kelistrikan PT. Petrokimia Gresik dan mensimulasikan dengan menggunakan *software* ETAP 12.6.0. Pemodelan sistem tersebut dilakukan untuk membuat analisis aliran daya, hubung singkat, dan kemudian setting koordinasi proteksi.

3. Simulasi dan analisis short circuit

Simulasi dan Analisis *Short Circuit* dilakukan untuk mendapatkan nilai *Short Circuit Maximum* tiga fasa $\frac{1}{2}$ cycle dan *Short Circuit Minimum* satu fasa 30 cycle pada *bus* yang akan dihitung koordinasi rele pengamannya.

4. Perhitungan Setting Rele

Pada Perhitungan *setting* rele arus lebih gangguan fasa akan dihitung *time overcurrent pickup*, *time dial*, *instantaneous pickup*, dan *time delay*. Dan perlu untuk ditentukan *manufaktur model* rele, jenis kurva serta nCT yang digunakan. Pada perhitungan rele gangguan ke tanah memperhatikan sistem pentanahan yang digunakan pada trafo dan generator.

5. Plot TCC pada Star-Protective Device Coordination

Plot *TCC* ini dilakukan setelah mendapatkan hasil perhitungan rele pengaman arus lebih dan rele gangguan ke tanah sehingga bisa dilihat *setting* koordinasi yang benar. Koordinasi rele ini harus mempertimbangkan rele yang berada di atas atau dibawahnya. Jika terjadi ketidaksesuaian pada koordinasi rele, maka harus dilakukan pemeriksaan dengan melakukan perhitungan dan simulasi ulang.

6. Pembuatan laporan tugas akhir

Menyusun laporan tugas akhir serta memberikan kesimpulan dan saran tentang *setting* koordinasi rele proteksi pada PT. Petrokimia Gresik akibat penambahan pembangkitan dan beban pabrik, serta untuk mengatasi gangguan-gangguan yang terjadi.

1.6 Sistematika Penulisan

Laporan tugas akhir ini dibagi menjadi lima bab dengan sistematika sebagai berikut :

BAB 1 : Pendahuluan

Meliputi latar belakang, perumusan masalah, tujuan dan manfaat, metodologi, dan sistematika penulisan.

BAB 2 : Koordinasi Proteksi Sistem Tenaga Listrik

Berisi dasar teori yang berkenaan dengan topik tugas akhir yang dilakukan.

BAB 3 : Sistem Kelistrikan PT. Petrokimia Gresik

Berisi mengenai konfigurasi kelistrikan *existing* pada PT. Linde Indonesia Gresik.

BAB 4 : Hasil Simulasi dan Setting Koordinasi Rele Proteksi pada PT. Petrokimia Gresik

Berisi mengenai perhitungan dan hasil simulasi yang telah dilakukan. Perhitungan dan pengaturan parameter-parameter yang terdapat pada rele pengaman dilakukan dengan mengikuti acuan dan standar yang sudah ada.

BAB 5 : Penutup

Berisi kesimpulan dan saran terhadap hasil analisis dan simulasi yang telah dilakukan.

1.7 Manfaat

Hasil dari Tugas Akhir ini diharapkan dapat memberikan manfaat sebagai berikut:

1. Dapat dipakai sebagai masukan bagi PT. Petrokimia Gresik dalam melakukan koordinasi proteksi arus lebih dan rele gangguan ketanah akibat pembangunan *IPP Gresik Gas Cogeneration Plant* dan *Amurea II*.
2. Dapat menjadi referensi mengenai studi koordinasi rele arus lebih dan rele gangguan ke tanah bagi mahasiswa yang akan mengerjakan Tugas Akhir dengan permasalahan yang serupa.

Halaman ini sengaja dikosongkan

BAB 2

KOORDINASI PROTEKSI SISTEM KELISTRIKAN

Sitem proteksi dalam sistem tenaga listrik bertujuan untuk mengamankan peralatan serta sistem kelistrikan secara menyeluruh dari kerusakan akibat arus gangguan. Ketika terjadi gangguan pada sistem kelistrikan, rele proteksi harus mampu mengisolir arus gangguan dengan mengoperasikan pemutus tenaga (*Circuit Breaker*) agar kerusakan pada peralatan dapat dicegah serta kontinuitas pelayanan / *supply* tenaga listrik dapat terjaga dengan baik [1].

Sistem proteksi harus didesain agar terdapat koordinasi yang baik antara setiap rele sesuai dengan letak terjadinya gangguan dan zona proteksinya. Zona Proteksi dibagi menjadi zona primer dan zona *back up*. Rele proteksi primer adalah rele yang terdekat dengan titik terjadinya gangguan dan bekerja paling awal saat terjadinya gangguan. Jika rele proteksi primer gagal bekerja untuk mengisolasi gangguan, rele proteksi *back up* akan bekerja setelah beberapa waktu tunda (*time delay*).

Dalam pemilihan rele proteksi harus mempertimbangkan hal-hal sebagai berikut [1] : Proteksi maksimum dan handal, Biaya peralatan minimum, Kecepatan operasi, Sensitivitas tinggi terhadap gangguan, Tidak sensitif terhadap arus beban normal, serta desain yang simpel.

2.1 Gangguan Sistem Tenaga Listrik

Ketika terjadi gangguan pada suatu sistem kelistrikan, peralatan seperti generator dan motor akan memberikan arus kepada titik terjadinya gangguan (disebut dengan arus kontribusi) yang memiliki nominal arus jauh lebih besar dibandingkan dengan arus nominal *rating* peralatan. Arus yang sangat besar tersebut dapat menyebabkan naiknya temperatur peralatan sehingga menyebabkan kerusakan pada alat.

Jenis gangguan (*fault*) pada sistem tenaga listrik dibagi menjadi dua, yaitu [2] :

1. Gangguan temporer (sementara) : Jenis gangguan temporer adalah gangguan yang dapat hilang dengan sendirinya atau akan hilang ketika bagian yang mengalami gangguan diputus secara sesaat dari sistem kelistrikan melalui *circuit breaker* yang terbuka oleh rele pengaman. Dalam jenis gangguan ini, peralatan yang mengalami gangguan dapat dioperasikan kembali. Gangguan jenis ini dapat menjadi gangguan permanen jika gangguan yang tidak diatasi atau diisolir secara seketika.

2. Gangguan permanen : Jenis gangguan permanen adalah gangguan yang terjadi ketika terdapat kerusakan bersifat permanen pada peralatan, sehingga gangguan ini hanya dapat dihilangkan ketika peralatan yang mengalami gangguan dilepas dari sistem untuk diperbaiki atau diganti sehingga dapat dioperasikan kembali.

2.2 Penyebab Gangguan Arus Lebih pada Sistem Tenaga Listrik

Gangguan arus lebih pada sistem tenaga listrik merupakan gangguan yang paling sering terjadi. Gangguan arus lebih dapat disebabkan oleh dua hal, yaitu beban lebih (*overload*) dan hubung singkat (*Short Circuit*).

2.2.1 Gangguan Beban Lebih

Gangguan beban lebih adalah gangguan yang terjadi ketika arus yang mengalir kedalam suatu peralatan melebihi batas arus nominal yang diizinkan ($I > I_n$). Gangguan ini dapat terjadi ketika terdapat kegagalan isolasi pada peralatan, atau pengoperasian peralatan melebihi *rating* peralatan. Peralatan yang mengalami gangguan beban lebih harus segera diamankan karena arus yang melebihi kapasitas dapat merusak peralatan listrik.

2.2.2 Gangguan Hubung Singkat

Gangguan hubung singkat adalah gangguan yang terjadi ketika terjadinya hubungan dari fasa atau tanah (*ground*) yang seharusnya tidak terhubung. Gangguan hubung singkat digolongkan menjadi dua kelompok yaitu gangguan hubung singkat simetri dan gangguan hubung singkat tak simetri (asimetri).

Gangguan yang termasuk dalam hubung singkat simetri adalah gangguan hubung singkat tiga fasa (L-L-L) dan hubung singkat tiga fasa ke tanah (L-L-L-G). Saat terjadi gangguan simetri, tegangan pada bus atau titik terjadi gangguan akan bernilai 0 dan arus yang mengalir ke titik gangguan sangat besar.

Sedangkan gangguan yang termasuk dalam hubung singkat tak simetri adalah hubung singkat dua fasa (L-L), dua fasa ketanah (L-L-G), dan satu fasa ke tanah (L-G). Gangguan ini akan mengakibatkan arus lebih pada fasa yang terganggu dan juga akan dapat mengakibatkan kenaikan tegangan pada fasa yang tidak terganggu. Gangguan hubung singkat tak simetri adalah gangguan hubung singkat yang paling umum terjadi.

Akibat adanya gangguan hubung singkat, kontinuitas daya akan terhenti karena membukanya *circuit breaker*, tetapi hal tersebut lebih baik karena jika arus hubung singkat tidak segera dihilangkan akan merusak peralatan.

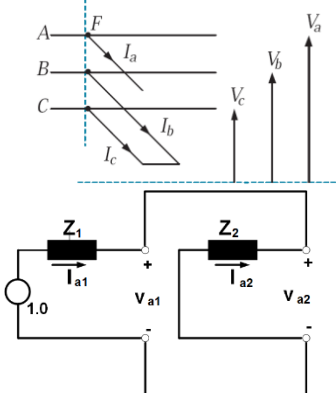
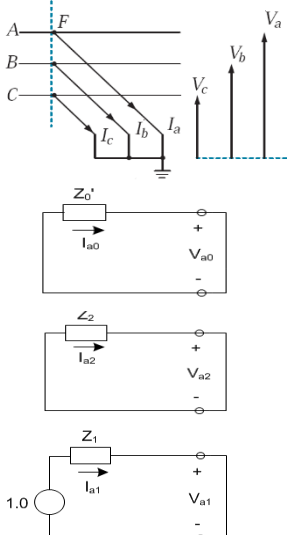
2.3 Perhitungan Arus Hubung Singkat

Berikut adalah cara perhitungan praktis untuk menentukan besar arus hubung singkat menurut referensi[3]:

Tabel 2.1 Gambar rangkaian dan persamaan gangguan hubung singkat

Gangguan Hubung singkat	Rangkaian Hubung Singkat & Rangkaian Pengganti	Persamaan
1 fasa ke tanah		$I_b = 0$ $I_c = 0$ $V_a = 0$ $I_{sc} = \frac{3V_f}{Z_1 + Z_2 + Z_0}$
2 fasa ke tanah		$I_a = 0$ $V_b = 0$ $V_c = 0$ $I_{sc} = \frac{V_f}{Z_1 + Z_2 Z_0 / Z_2 + Z_0}$

Tabel 2.1 Gambar rangkaian dan persamaan gangguan hubung singkat (lanjutan)

Gangguan Hubung singkat	Rangkaian Hubung Singkat & Rangkaian Pengganti	Persamaan
Antar fasa		$I_a = 0$ $I_b = -I_c$ $V_b = V_c$ $I_{Sc} = \left \pm j \frac{\sqrt{3}V_f}{Z_1 + Z_2} \right $
3 fasa langsung (simetri)		$V_{a2} = 0$ $I_{a0} = 0$ $I_{a2} = 0$ $a0 = 0$ $I_{Sc} = \frac{V_f}{Z1}$

2.4 Rele Arus Lebih (*Over Current Relay*)

Rele arus lebih adalah rele yang digunakan untuk mendeteksi gangguan beban lebih (*overload*) atau hubung singkat (*short Circuit*). Rele arus lebih akan beroperasi memberikan perintah/sinyal kepada pemutus tenaga sesuai ketentuan berikut, menurut referensi [4]:

$If > I_p$	rele bekerja	(trip)
$If < I_p$	tidak bekerja	(blok)

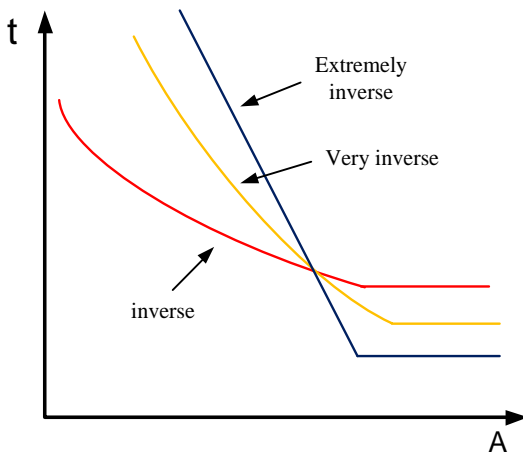
Dimana I_p adalah arus kerja atau arus *pick up*, dinyatakan menurut gulungan sekunder dari trafo arus (CT) yang terhubung ke rele. Dan I_f merupakan arus gangguan yang mengalir pada sisi primer CT, yang kemudian dikonversi terhadap gulungan sekunder CT untuk dibandingkan dengan I_p . Rele arus lebih dibagi menjadi tiga, yaitu dan rele arus lebih waktu *invers*, rele arus lebih waktu instan, dan rele arus lebih waktu tertentu.

2.4.1 Rele Arus Lebih Waktu Invers

Rele arus lebih waktu invers memiliki karakteristik waktu operasi berbanding terbalik dengan besarnya arus gangguan [5]. Dengan kata lain semakin besar arus gangguan yang mengalir, maka waktu operasi rele akan semakin cepat, begitu pula sebaliknya. Kurva TCC (*time-current characteristic*) adalah kurva yang menunjukkan karakteristik waktu-arus dengan skala dalam *time dial*. Besarnya *time dial* yang ditentukan akan mempengaruhi waktu operasi rele dan kemiringan kurva.

Perlindungan terhadap arus gangguan menggunakan rele arus lebih waktu invers dibagi menjadi beberapa jenis menurut gradien kurvanya. Menurut standar IEC 60255-3 dan *British Standard 142* (BS 142) kurva invers dibagi menjadi *standard inverse*, *very inverse*, dan *extremely inverse* seperti ditunjukkan pada Gambar 2.1. Menurut standar lain yang dikeluarkan oleh IEEE, terdapat karakteristik kurva invers yang lain yaitu *moderately inverse*, *long time inverse*, dan *short time inverse*, sebagai pelengkap dari standar yang sudah ada sebelumnya.

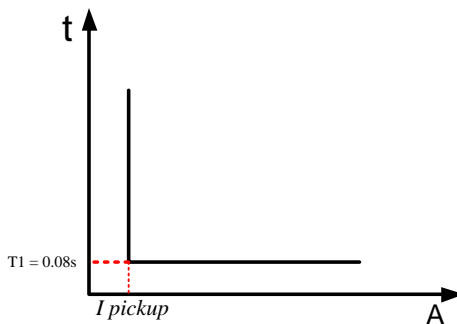
Kurva inverse banyak dijumpai dengan waktu operasi yang menyerupai waktu tertentu (*definite*) ketika arus yang mengalir bertambah besar. Kurva invers tersebut biasa disebut dengan *Inverse Definite Minimum Time* (IDMT), yang pada penggunaannya sering digabungkan dengan kurva waktu instan ataupun kurva waktu tertentu.



Gambar 2.1 Karakteristik *standard inverse*, *very inverse* dan *extremely inverse*

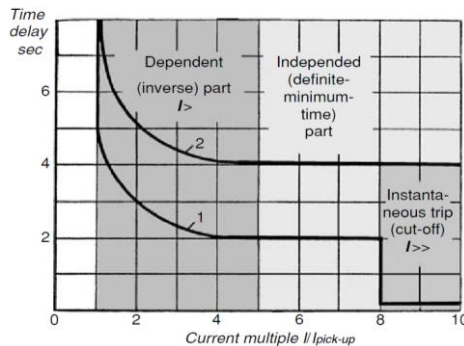
2.4.2 Rele Arus Lebih Waktu Instan

Rele arus lebih waktu instan adalah rele yang akan bekerja tanpa penundaan waktu (*time delay*). Pada praktiknya, rele arus lebih waktu instan akan bekerja dengan waktu operasi sebesar 0.08-0.1 detik. Karakteristik rele arus lebih waktu instan adalah seperti pada Gambar 2.2.



Gambar 2.2 Karakteristik rele arus lebih *instant*

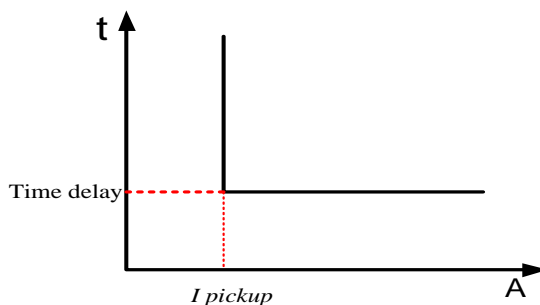
Ketika arus yang melewati CT melebihi besar arus *pick up*, rele akan memberi sinyal kepada CB untuk memutus daya dalam waktu sangat cepat (80 ms). Penggunaan IDMT yang dikombinasikan dengan rele arus lebih waktu instan ditunjukkan pada Gambar 2.3.



Gambar 2.3 Kombinasi IDMT dengan rele arus lebih waktu instan [6]

2.4.3 Rele Arus Lebih Waktu Tertentu

Rele arus lebih waktu tertentu bekerja seperti rele arus lebih waktu instan tetapi memiliki waktu operasi (*time delay*) yang dapat diatur sesuai kebutuhan koordinasi rele pengaman. Dengan menggunakan rele arus lebih waktu tertentu, semua nilai arus yang melebihi arus *pick up* akan memicu rele memberikan sinyal kepada CB untuk memutus daya dengan waktu yang sama (*definite*). Karakteristik rele arus lebih waktu tertentu ditunjukkan pada Gambar 2.4.



Gambar 2.4 Karakteristik rele arus lebih waktu tertentu

2.5 Pengaturan Rele Arus Lebih

Pengaturan rele arus lebih memiliki perbedaan sesuai jenis rele arus lebih yang digunakan.

2.5.1 Pengaturan Rele Arus Lebih Waktu Invers

Rele arus lebih waktu invers diatur agar rele tidak bekerja ketika kondisi pembebahan maksimum dan bekerja ketika arus yang mengalir ke peralatan melebihi arus maksimum peralatan. Dengan kata lain, rele arus lebih waktu invers bekerja untuk melindungi peralatan dan sistem dari gangguan beban lebih (*overload*). Oleh karena itu dalam pengaturan rele ini *setting* arusnya harus lebih besar dari arus beban maksimum (*Full Load Ampere/FLA*).

Rele arus lebih waktu invers memiliki pengaturan *pick up* dan *time dial*. Pengaturan arus *pick up* pada rele erus lebih ditentukan dengan pemilihan *tap*, yang ditunjukkan pada persamaan berikut :

Iset adalah arus *pickup* yang ditentukan dalam Ampere. Menurut standar BS 142, batas penentuan I set adalah sebagai berikut :

$$1.05 \text{ FLA} < I_{set} < 1.3 \text{ FLA.} \quad (2)$$

Pengaturan *time dial* akan menentukan waktu operasi dari rele waktu invers. Penentuan *time dial* dari masing-masing kurva karakteristik rele arus lebih waktu invers dilakukan dengan terlebih dahulu menentukan waktu operasi yang dibutuhkan. Menurut standar IEC 60255-3 dan *British Standard* 142, nilai *time dial* dapat ditentukan dengan menggunakan persamaan sebagai berikut :

Dimana :

td = waktu operasi (detik)

T = time dial

I = nilai arus (Ampere)

Iset = arus pickup (Ampere)

k = koefisien invers 1 (lihat Tabel 2.2)

α ≡ koefisien invers 2 (lihat Tabel 2.2)

β_3 = koefisien invers 3 (lihat Tabel 2.2)

Tabel 2.2 Koefisien invers *time dial*

Tipe Kurva	Koefisien		
	k	α	β
Standard Inverse	0,14	0,02	2,970
Very Inverse	13,50	1,00	1,500
Extremely Inverse	80,00	2,00	0,808

2.5.2 Pengaturan Rele Arus Lebih Instan/Tertentu

Rele arus lebih instan diatur untuk bekerja dalam waktu seketika atau waktu tertentu ketika arus yang mengalir melebihi arus *pick up*. Rele arus lebih waktu instan biasanya digunakan untuk melindungi peralatan atau sistem dari gangguan arus lebih hubung singkat. Dalam menentukan setelan *pickup* instan ini digunakan arus hubung singkan minimum (*Isc min*) yaitu arus hubung singkat 2 fasa pada pembangkitan minimum. Pengaturan *pick up* pada rele ini ditetapkan sebagai:

2.5.3 Koordinasi Berdasarkan Arus dan Waktu

Pada penggunaan rele pengaman harus terdapat koordinasi yang baik. Koordinasi baik yang dimaksud adalah rele pengaman utama dan rele pengaman backup tidak boleh bekerja secara bersamaan. Oleh karena itu diperlukan adanya pengaturan waktu tunda/*time delay* antara rele utama dengan rele *backup*. Pengaturan *Time delay* ini biasa disebut dengan *setting* kelambatan waktu (Δt) atau *grading time*. Menurut standard IEEE 242 [1], pengaturan perbedaan *grading time* adalah 0.2 – 0.35 detik. Dengan spesifikasi sebagai berikut:

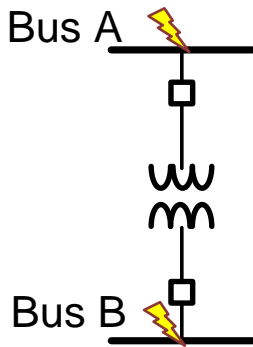
Waktu buka CB : 0.04 – 0.1s (2-5 cycle)

Overtravel dari rele : 0.1s

Faktor keamanan : 0.12-0.22s

Untuk rele berbasis *microprocessor* *Overtravel time* dari rele diabaikan. Sehingga total waktu yang diperlukan adalah 0.2-0.4s.

Sebagai pertimbangan khusus bagi pengaman *feeder* yang dipisahkan oleh transformator, koordinasi pengaman dibedakan menjadi dua daerah, yakni sisi primer dan daerah sisi sekunder seperti ditunjukkan pada Gambar 2.5.



Gambar 2.5 Rele arus lebih pengamanan trafo

Dimana $I_{sc\ max}$ bus B merupakan arus hubung singkat tiga phasa maksimum pada bus B, sedangkan $I_{sc\ min}$, A adalah arus hubung singkat minimum pada titik A.

Ketika $I_{sc \ max} \text{ bus B} < 0.8 I_{sc \ min, A}$, maka pengaturan Iset dapat menggunakan persamaan sebagai berikut :

Pengaturan *time delay* rele sisi A pada kondisi seperti ini dapat diatur kembali seperti rele pengaman utama (umumnya 0.1s).

Ketika $I_{sc \ max} \text{ bus B} > 0.8 I_{sc \ min, A}$, maka pengaturan Iset dapat menggunakan persamaan sebagai berikut:

Pengaturan *time delay* rele sisi A pada kondisi seperti ini diatur menggunakan dengan *grading time* seperti yang telah dijelaskan sebelumnya.

2.6 Rele Gangguan tanah

Rele gangguan tanah adalah rele yang digunakan untuk mengamankan peralatan terhadap gangguan satu fasa ke tanah. Rele gangguan tanah adalah rele pengaman arus lebih yang dilengkapi *zero sequence current filter*. Rele gangguan ke tanah dapat digunakan pada sistem yang menggunakan sistem pentanahanan untuk membatasi arus gangguan ke tanah.

2.7 Pengaturan Rele Gangguan Tanah

Dalam pengaturan rete arus lebih gangguan tanah, harus mertimbangkan hal hal sebagai berikut :

- Arus urutan nol akan terisolasi pada trafo belitan delta
 - Arus urutan nol akan mengalir dari sumber gangguan trafo belitan Wye

Sedangkan penentuan Iset dalam pengaturan rele gangguan ke tanah adalah sebagai berikut :

Dengan I_{sc} L-G merupakan arus hubung singkat satu fasa ke tanah.

Pada suatu sistem yang dilengkapi dengan *Neutral Grounding Resistor* (NGR), diasumsikan nilai arus gangguan satu fasa ke tanah adalah arus maksimum melalui NGR tersebut. Sehingga penentuan I_{set} untuk rele gangguan ke tanah dalam sistem yang dilengkapi NGR adalah sebagai berikut :

$$5\text{--}10\% \times \text{Arus maks. } NGR < I_{set} < 50\% \times \text{Arus maks. } NGR \dots\dots \quad (8)$$

2.8 Transformator Pentahanan

Transformator pentanahan (*Grounding Transformer*) adalah trafo yang dimaksudkan semata-mata untuk membangun titik koneksi netral pada suatu sistem tenaga tiga fasa yang tidak diketanahkan [7]. Jenis transformator yang digunakan untuk tujuan ini umumnya adalah transformator *wye-delta* atau transformator *zig-zag*. Transformator pentanahan telah digunakan pada sistem kelistrikan tiga fasa yang tidak diketanahkan untuk beberapa alasan, yaitu [8] :

1. Sebagai sumber arus gangguan ke tanah ketika terjadi gangguan satu fasa ke tanah.
 2. Membatasi magnitude dari tegangan lebih transien ketika terjadi gangguan ke tanah.
 3. Menstabilkan saluran netral, dan jika dibutuhkan, dapat menyediakan hubungan beban fasa-netral.

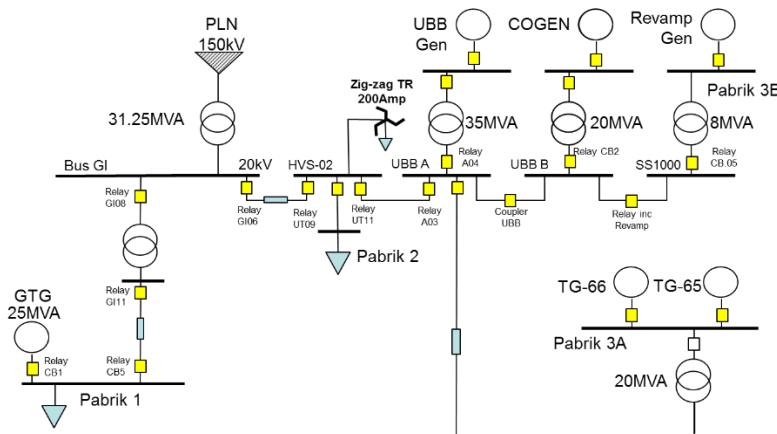
Dalam penggunaan *software* ETAP 12.6, pemodelan dari transformator zig-zag dapat dilakukan dengan menggunakan transformator dua belitan hubungan wye-delta [9].

BAB 3

SISTEM KELISTRIKAN PT. PETROKIMIA GRESIK

3.1 Sistem Kelistrikan PT. Petrokimia Gresik

PT. Petrokimia Gresik memiliki sistem kelistrikan yang tergolong besar dan kompleks. Dalam sistem kelistrikan *existing* (sebelum penambahan beban pabrik Amurea 2 dan penambahan pembangkitan IPP Gresik Gas Cogeneration Plant), PT. Petrokimia gresik memiliki 4 pabrik yaitu Pabrik 1, Pabrik 2, Pabrik 3A dan Pabrik 3B. Sistem kelistrikan *existing* PT. Petrokimia gresik ditunjukkan pada gambar 3.1.

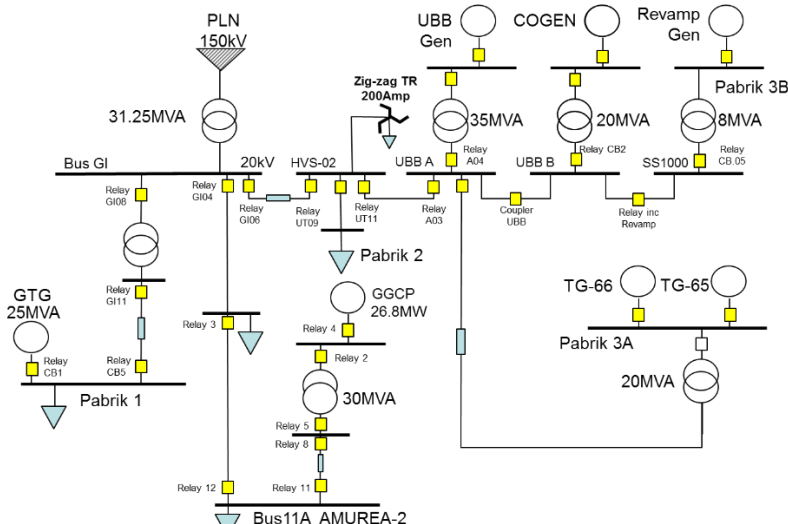


Gambar 3.1 Sistem Kelistrikan *Existing* PT. Petrokimia Gresik

Pada gambar 3.1 ditunjukkan bahwa sistem kelistrikan pada PT. Petrokimia Gresik sudah hampir terintegrasi antara satu pembangkit ke pembangkit lainnya, kecuali pada pabrik 3A yang pada operasinya menggunakan pembangkit mandiri yaitu TG-65 dan TG-66. Dalam kondisi operasi normal, total beban adalah 77.3 MW yang disuplai oleh grid PLN serta lima generator dengan total kapasitas 102.5 MW. Perbedaan antara kapasitas pembangkitan dengan total beban yang cukup besar (sekitar 25 MW) ini diperlukan karena sistem kelistrikan PT. Petrokimia yang sudah terintegrasi seperti dijelaskan sebelumnya.

Dengan adanya proyek pembangunan pabrik Amurea 2 dan IPP GGCP yang kemudian akan terhubung dengan sistem kelistrikan *existing*,

akan terbentuk konfigurasi sistem kelistrikan baru. Perubahan kofigurasi sistem kelistrikan pada PT. Petrokimia Gresik ini mengakibatkan diperlukannya studi koordinasi rele pengaman. Sistem kelistrikan pada PT. Petrokimia Gresik setelah penambahan pabrik Amurea 2 dan IPP GGCP ditunjukkan pada gambar 3.2



Gambar 3.2 Sistem Kelistrikan Baru PT. Petrokimia Gresik

3.2 Rangkuman Pembangkitan, Pembebanan, dan *Demand*

Rangkuman data mengenai pembangkitan, Pembebanan, serta *demand* pada sistem kelistrikan baru PT. Petrokimia Gresik saat kondisi pembebanan normal ditunjukkan pada Tabel 3.1 berikut:

Tabel 3.1 Jumlah Total Pembangkitan, Pembebanan, dan *Demand*

		MW	Mvar	MVA	% PF
Source	Swing Bus	27.127	11.340	29.401	92.26 Lag
	Non-Swing Bus	64.2	39.239	75.242	85.32 Lag
Load	Motor Load	75.706	42.739	86.937	87.08 Lag
	Static Load	14.403	2.316	14.588	98.73 Lag

Tabel 3.1 Jumlah Total Pembangkitan, Pembebanan, dan *Demand* (Lanjutan)

	MW	Mvar	MVA	% PF
Total Demand	91.327	50.579	104.397	87.48
Apparent Losses	1.217	5.525		

3.3 Kapasitas Pembangkitan

Setelah pembangunan pabrik amurea dan *independent power plant* GGCP, PT. Petrokimia Gresik akan memiliki total 10 unit pembangkit yang 6 diantaranya akan beroperasi dalam kondisi pembebanan normal, 3 pembangkit cadangan (spare), dan satu pembangkit mikro yang terdapat pada pabrik Amurea 2. Data kapasitas pembangkitan masing-masing unit generator ditunjukkan pada Tabel 3.2.

Tabel 3.2 Data Kapasitas Pembangkit pada PT. Petrokimia Gresik

No	ID	Lokasi	Daya Aktif (MW)	Daya Semu (MVA)	Teg. (kV)	Faktor Daya (PF)
1	GGCP	Amurea II	26.8	31.529	11	85%
2	GTG	Pabrik 1	33	41.25	11.5	80%
3	Revamp Gen	Pabrik 3B	17.5	20.588	6	80%
4	TG-65	Pabrik 3A	8.5	10.625	6	80%
5	TG-66	Pabrik 3A	11.5	14.375	6	80%
6	UBB Gen	UBB	32	40	6	80%
7	EG-65	Pabrik 3B(spare)	2	2.5	6	80%
8	EG-66	Pabrik 3B(spare)	2	2.5	6	80%
9	COGEN	UBB (spare)	12.5	14.706	6	85%
10	131-JG	Amurea 2 (mikro)	0.32	0.376	6.3	85%

3.4 Sistem Distribusi pada PT. Petrokimia Gresik

PT. Petrokimia Gresik menggunakan sistem jaringan distribusi yang menyerupai jaringan distribusi radial. Sistem jaringan distribusi pada PT. Petrokimia Gresik bukan merupakan jaringan radial murni dikarenakan hampir setiap pabrik disuplai oleh lebih dari satu feeder. Terdapat pengecualian pada pabrik 3A dikarenakan dalam kondisi normal pabrik tersebut tidak terhubung dengan jaringan lainnya dan hanya mendapatkan suplai daya dari pembangkit TG-65 dan TG-66.

PT. Petrokimia gresik memiliki beberapa *level* tegangan yang berbeda. Nilai tegangan yang digunakan pada gardu induk (*switchgear*), bus *feeder*, dan pabrik antara lain adalah 6 kV, 6.3 kV, 11 kV, 11.5 kV, dan 20 kV. Untuk menghubungkan jaringan dengan beberapa *level* tegangan tersebut, digunakan transformator jenis *step up* dan jenis *step down*. Selain itu untuk melindungi sistem dari gangguan satu fasa ke tanah, digunakan transformator *zigzag* pada Pabrik 2. Rincian data mengenai transformator ditunjukkan pada Tabel 3.3.

Tabel 3.3 Data Transformator Distribusi yang Digunakan pada Jaringan Interkoneksi di PT. Petrokimia Gresik

ID	Lokasi	MVA	kV	%Z	Hubungan
IT	Amurea 2	30	11/20	11	Δ/Y
TRAFO UBB	UBB	35	6/20	10	Δ/Y
TR GI	GI 20 kV PKG	25	20/11.5	8	Δ/Y
MAIN01	Pabrik 3B	8	20/6	8	Δ/Y
TR1	Amurea 2	12.5	20/6.3	7.5	Δ/Y
TR2	Amurea 2	12.5	20/6.3	7.5	Δ/Y
TR-2281 A	Pabrik 1	25	11.5/6	8	Δ/Y
TR-2281 B	Pabrik 1	25	11.5/6	8	Δ/Y
09-TR-101	Pabrik 2	5	20/6	7	Δ/Y
TR 13	Pabrik 2	16	20/6	8.33	Δ/Y
TR 11	Pabrik 2	8	20/6	8	Δ/Y
TR 12	Pabrik 2	8	20/6	8.33	Δ/Y
TR 14	Pabrik 2	8	20/6	8.33	Δ/Y

Tabel 3.3 Data Transformator Distribusi yang Digunakan pada Jaringan Interkoneksi di PT. Petrokimia Gresik (lanjutan)

32-TR- 31.20/6kV	Pabrik 2	8	20/6	8	Δ/Y
TR 14	Pabrik 2	16	20/6	8	Δ/Y

3.5 Sistem Pengaman Arus Lebih

Sistem pengaman arus lebih dibutuhkan untuk melindungi sistem dari gangguan arus lebih yang terdapat pada fasa maupun sistem pentahanan agar proses pengolahan dan produksi agar tidak terhenti atau terganggu. Untuk itu peralatan pengaman harus terkoordinasi dengan baik sehingga ketika terjadi gangguan arus lebih peralatan pengaman tersebut dapat mengisolir daerah gangguan secepat mungkin.

Peralatan yang sangat vital untuk mengamankan sistem dari gangguan arus lebih adalah rele arus lebih. Pada PT. Petrokimia Gresik, digunakan rele arus lebih dengan produsen (*manufacturer*) berbeda-beda. Dalam pengaturan rele arus lebih diperlukan nilai-nilai konstanta dari setiap produk, yang nilainya bervariasi antara satu *manufacturer* dengan *manufacturer* lainnya. Berikut adalah detail dari setiap rele arus lebih yang akan diatur pada tugas akhir ini:

1. Schneider Electric Sepam Series 10 [10] :

Overcurrent

Pickup Range : 0.1 – 2.4 x Sekunder CT
Curve type : IEC, IEEE

Instantaneous

Pickup Range : 0.1 – 24 x Sekunder CT
Delay Range : 0.05 – 300 detik

2. GE Multilin 345 [11] :

Overcurrent

Pickup Range : 0.04 – 20 x Sekunder CT
Curve type : IEC, IAC, ANSI

Instantaneous

Pickup Range : 0.05 – 20 x Sekunder CT
Delay Range : 0 – 300 detik

3. GE Multilin 489 [12] :

Overcurrent

<i>Pickup Range</i>	: 0.15 – 20 x Sekunder CT
<i>Curve type</i>	: IEC, IAC, ANSI

Instantaneous

<i>Pickup Range</i>	: 0.15 – 20 x Sekunder CT
<i>Delay Range</i>	: 0 – 100 detik

4. Siemens 7SJ62 [13] :

Overcurrent

<i>Pickup Range</i>	: 0.1 – 2 x Sekunder CT
<i>Curve type</i>	: IEC, ANSI

Instantaneous

<i>Pickup Range</i>	: 0.1 – 35 x Sekunder CT
<i>Delay Range</i>	: 0 – 60 detik

5. Merlin Gerin Sepam 40 [14] :

Overcurrent

<i>Pickup Range</i>	: 0.1 – 2.4 x Sekunder CT
<i>Curve type</i>	: IEC, IAC, IEEE

Instantaneous

<i>Pickup Range</i>	: 0.1 – 24 x Sekunder CT
<i>Delay Range</i>	: 0.05 – 300 detik

6. Merlin Gerin Sepam 1000 [15] :

Overcurrent

<i>Pickup Range</i>	: 0.3 – 2.4 x Sekunder CT
<i>Curve type</i>	: IEC

Instantaneous

<i>Pickup Range</i>	: 1 – 30 x Sekunder CT
<i>Delay Range</i>	: 0.025 – 2 detik

BAB 4

HASIL SIMULASI DAN SETTING KOORDINASI RELE PROTEKSI PADA PT. PETROKIMIA GRESIK

4.1 Pemodelan Sistem Kelistrikan PT. Petrokimia Gresik

Pemodelan sistem kelistrikan dari PT. Petrokimia Gresik dilakukan dengan cara membuat *single line diagram* pada *software* ETAP 12.6 dengan memperhatikan data – data peralatan yang meliputi transformator, generator, kabel, *bus*, rele *existing*, sistem pentahanan, serta beban yang pada *software* ETAP 12.6 dapat berupa beban individual, tergabung dalam suatu jaringan *network*, atau tergabung dalam suatu jaringan *composite motors*.

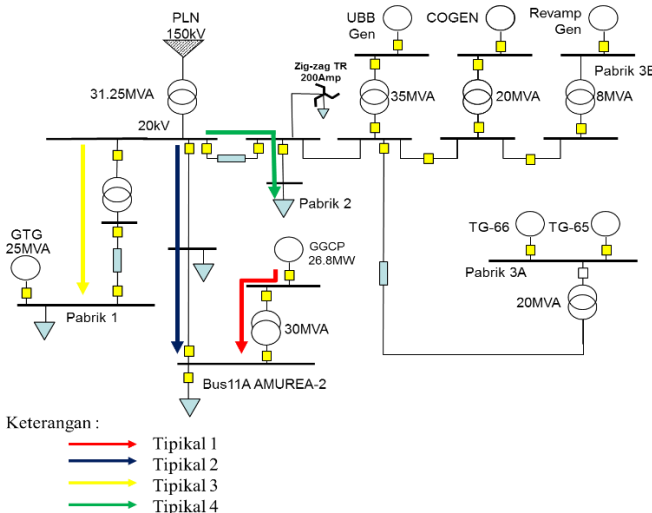
Pemodelan *single line diagram* sistem kelistrikan tersebut bertujuan agar dapat diketahui kondisi sistem kelistrikan *existing* serta kondisi sistem kelistrikan setelah pembangunan pabrik Amurea II dan *Independent Power Plant – Gresik Gas Cogeneration Plant*. Setelah melakukan pemodelan sistem kelistrikan PT. Petrokimia Gresik, akan dilakukan perhitungan dan pengaturan koordinasi proteksi dari berbagai jenis rele yang digunakan pada masing-masing tipikal yang akan ditentukan.

4.2 Pemilihan Tipikal Koordinasi pada PT. Petrokimia Gresik

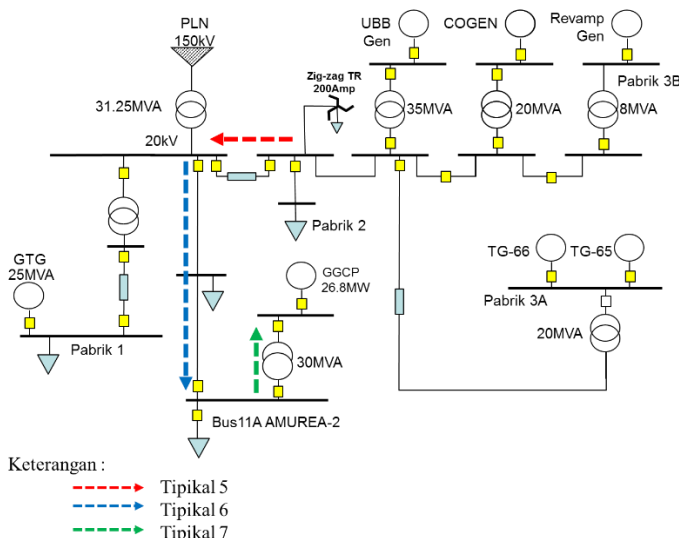
Dalam rangka memudahkan proses setting rele proteksi pada studi koordinasi proteksi PT. Petrokimia Gresik, akan dipilih 4 tipikal untuk dilakukan koordinasi rele gangguan fasa dan 3 tipikal untuk dilakukan koordinasi rele gangguan tanah. Tipikal yang digunakan dalam Koordinasi rele gangguan fasa meliputi tipikal pada sistem kelistrikan baru (beban pabrik Amurea II dan *IPP GGCP*) dan tipikal yang mewakili jaringan *existing* yang terhubung dengan sistem kelistrikan baru tersebut. Karena pada PT. Petrokimia Gresik terdapat transformator zigzag, maka tipikal koordinasi gangguan ke tanah yang ditentukan akan berupa satu tipikal yang kemudian saya bagi menjadi tiga bagian. Berikut adalah tipikal-tipikal yang saya ambil :

1. Tipikal 1 : Koordinasi rele arus lebih fasa (50/51) dari generator GGCP yang terdapat pada bus 11kV MVSWGR sampai dengan Bus 11A yang terdapat pada pabrik AMUREA II. Rele yang akan disetting pada tipikal ini meliputi Relay 4, Relay 2, Relay 5, Relay 8, dan Relay 11.

2. Tipikal 2 : Koordinasi rele arus lebih fasa (50/51) dari sisi sekunder transformator TR PLN pada bus HVS-00-20kV/GI A sampai dengan Bus 11A yang terdapat pada pabrik AMUREA II. Rele yang akan *disetting* pada tipikal ini meliputi Relay-GI02, Relay-GI04, Relay 3, dan Relay 12.
3. Tipikal 3 : Koordinasi rele arus lebih fasa (50/51) dari bus HVS-00-20kV/GI B sampai dengan BUS GTG yang terdapat pada pabrik 1. Rele yang akan *disetting* pada tipikal ini meliputi Relay-GI08, Relay-GI11, Relay-CB5, dan Relay CB-1.
4. Tipikal 4 : Koordinasi rele arus lebih fasa (50/51) dari bus HVS-00-20kV/GI A sampai dengan bus HVS-00-10kV/UT-L-P B yang terdapat pada pabrik 2. Rele yang akan *disetting* pada tipikal ini meliputi Relay-GI06, Relay-UT09, Relay-UT8, dan Relay-UT04.
5. Tipikal 5 : Koordinasi rele arus lebih gangguan ke tanah dari bus HVS-02.A/20kV B dimana terdapat transformator zigzag, sampai dengan bus HVS-00-20kV/GI A.. Rele yang akan *disetting* pada tipikal ini meliputi Relay-UT10, Relay-UT09, dan Relay-GI06.
6. Tipikal 6 : Koordinasi rele arus lebih gangguan ke tanah dari bus HVS-00-20kV/GI A sampai dengan Bus 11A yang terdapat pada pabrik AMUREA II. Rele yang akan *disetting* pada tipikal ini meliputi Relay-GI04, Relay 3, dan Relay 12. Pemilihan tipikal 6 ini dikarenakan saluran ini merupakan saluran penghubung antara sumber gangguan satu fasa ke tanah (Zigzag Transformer) dengan saluran antara pabrik AMUREA II ke generator GGCP.
7. Tipikal 7 : Koordinasi rele arus lebih gangguan ke tanah dari Bus 11A sampai dengan generator GGCP yang terdapat pada bus 11kV MVWGR. Rele yang akan *disetting* pada tipikal ini meliputi Relay 11, Relay 8, Relay 5, Relay 2, dan Relay 4. Pemilihan tipikal 7 ini dikarenakan saluran ini merupakan saluran penghubung antara pabrik AMUREA II dengan IPP GGCP yang akan dibangun.



Gambar 4.1 Tipikal koordinasi rele arus lebih fasa PT. Petrokimia Gresik



Gambar 4.2 Tipikal koordinasi rele arus lebih gangguan ke tanah PT. Petrokimia Gresik

4.3 Analisis Arus Gangguan Hubung Singkat

Dalam proses *setting* rele pengaman arus lebih, diperlukan data arus gangguan hubung singkat pada setiap bus atau peralatan yang dilindungi oleh rele pengaman arus lebih. Untuk keperluan analisis arus gangguan hubung singkat diperlukan dua parameter, yakni arus gangguan hubung singkat maksimum dan arus gangguan hubung singkat minimum. Hubung singkat maksimum adalah hubung singkat 3 fasa sementara hubung singkat minimum adalah hubung singkat 2 fasa (*line-to-line fault*). Data arus hubung singkat yang diperlukan pada tugas akhir ini adalah arus hubung singkat minimum 30 *cycle* dan arus hubung singkat maksimum 4 *cycle*.

4.3.1 Analisis Hubung Singkat Minimum 30 cycle

Arus hubung singkat minimum adalah arus hubung singkat dua fasa pada saat keadaan *steady state* (30 *cycle*) ketika pembangkitan minimum. Pada sistem kelistrikan PT. Petrokimia Gresik, kondisi pembangkitan minimum adalah saat pola operasi normal, dimana terdapat 3 generator yang tidak aktif yaitu generator COGEN, EG-65, dan EG-66. Nilai arus hubung singkat minimum ini diperlukan sebagai batas *setting pick up* kurva rele arus lebih waktu instan, sehingga ketika terjadi gangguan hubung singkat minimum rele akan bekerja dengan instan sesuai *time delay* yang telah ditentukan. Nilai arus hubung singkat minimum pada bus-bus yang termasuk dalam tipikal ditunjukkan pada Tabel 4.1.

Tabel 4.1 Data arus hubung singkat minimum pada bus utama

No	ID Bus	Tegangan	Arus hubung singkat 2 fasa 30 cycle
1	11kV MVSWGR	11 kV	14,65 kA
2	20kV MVSWGR	20 kV	12,59 kA
3	Bus11A	20 kV	12,73 kA
4	20BUS86	20 kV	14,15 kA
5	HVS-00-20kV/GI A	20 kV	14,16 kA
6	HVS-00-20kV/GI B	20 kV	14,16 kA
7	Bus 11	11.5 kV	15,77 kA

Tabel 4.1 Data arus hubung singkat minimum pada bus utama (lanjutan)

8	BUS GTG	11.5 kV	15,76 kA
9	HVS-02.A/20kV	20 kV	12,87 kA
10	HVS-02.A/20kV B	20 kV	12,87 kA
11	HVS-00-20kV/UT-L-P B	20 kV	12,87 kA

Untuk keperluan *setting* rele arus lebih waktu tertentu / instan pada sistem kelistrikan PT. Petrokimia Gresik, dibutuhkan data arus hubung singkat yang melewati rele tertentu dikarenakan pada sistem kelistrikan ini beban pabrik disuplai oleh lebih dari satu sumber (*feeder*). Kondisi ini akan menyebabkan rele merasakan arus hubung singkat yang berbeda tergantung dari titik terjadinya gangguan. Data arus hubung singkat minimum 30 *cycle* digunakan untuk melakukan setting *instantaneous pickup* pada rele, sedangkan data arus hubung singkat maksimum 30 *cycle* digunakan untuk mencari *time dial* dari rele yang beroperasi pada waktu > 0.1 s, sesuai dengan teori yang dipaparkan pada bab 2. Data arus hubung singkat minimum dan maksimum 30 *cycle* yang mengalir pada rele ditunjukkan pada Tabel 4.2 dan Tabel 4.3.

Tabel 4.2 Data arus hubung singkat minimum melewati rele pada masing masing tipikal

Tipikal	ID Rele	Lokasi gangguan	Arus hubung singkat 2 fasa 30 <i>cycle</i> yang melewati rele
1	Relay 11	Bus11A	2,32 kA
	Relay 8	Bus11A	2,32 kA
	Relay 5	20kV MVSWGR	2,33 kA
	Relay 2	Sisi primer transformator IT	6,97 kA
	Relay 4	11kV MVSWGR	6,97 kA
2	Relay 12	Bus11A	10,47 kA
	Relay 3	Bus11A	10,47 kA
	Relay-GI04	20BUS86	12,03 kA
	Relay-GI02	HVS-00-20kV/GI A	6,26 kA

Tabel 4.2 Data arus hubung singkat minimum melewati rele pada masing masing tipikal (lanjutan)

3	Relay-GI08	HVS-00-20kV/GI B	2,83 kA
	Relay-GI11	Bus11	7,81 kA
	Relay-CB5	BUS GTG	7,89 kA
	Relay CB-1	BUS GTG	8,03 kA
4	Relay-UT04	Sisi primer transformator TR 12	12,87 kA
	Relay-UT8	HVS-00-20kV/ UT-L-P-B	12,87 kA
	Relay-UT09	HVS-02.A/20kV	9,84 kA
	Relay-GI06	HVS-00-20kV /GI A	2,97 kA

Tabel 4.3 Data arus hubung singkat maksimum melewati rele pada masing masing tipikal

Tipikal	ID Rele	Lokasi gangguan	Arus hubung singkat 3 fasa 30 cycle yang melewati rele
1	Relay 11	Bus11A	2,4 kA
	Relay 8	Bus11A	2,4 kA
	Relay 5	20kV MVSWGR	2,4 kA
	Relay 2	Sisi primer transformator IT	6,75 kA
	Relay 4	11kV MVSWGR	6,75 kA
2	Relay 12	Bus11A	11,5 kA
	Relay 3	Bus11A	11,5 kA
	Relay-GI04	20BUS86	13,09 kA
	Relay-GI02	HVS-00-20kV/GI A	7,14 kA
3	Relay-GI08	HVS-00-20kV/GI B	2,85 kA
	Relay-GI11	Bus11	9,14 kA
	Relay-CB5	BUS GTG	8,9 kA
	Relay CB-1	BUS GTG	7,39 kA

Tabel 4.3 Data arus hubung singkat maksimum melewati rele pada masing masing tipikal (lanjutan)

4	Relay-UT04	Sisi primer transformator TR 12	14,09 kA
	Relay-UT8	HVS-00-20kV/ UT-L-P-B	14,09 kA
	Relay-UT09	HVS-02.A/20kV	10,91 kA
	Relay-GI06	HVS-00-20kV /GI A	3,12 kA

4.3.2 Analisis Hubung Singkat Maksimum 4 cycle

Arus hubung singkat maksimum adalah arus hubung singkat tiga fasa. Pada proses *setting* rele arus lebih tugas akhir ini, dibutuhkan data arus gangguan hubung singkat maksimum 4 *cycle* untuk keperluan perhitungan *time dial* kurva invers dan *setting* rele pengaman transformator. Data arus gangguan hubung singkat maksimum 4 *cycle* dipelukan untuk *setting* rele arus lebih yang bekerja pada waktu mendekati 4 *cycle* (0.08s). Pada fase 4 *cycle* sampai dengan 30 *cycle* (fase transien), motor masih memberikan arus kontribusi ke titik terjadinya gangguan. Pada tabel 4.3 ditunjukkan data arus hubung singkat maksimum pada bus utama.

Tabel 4.4 Data arus hubung singkat maksimum 4 *cycle* pada bus utama

No	ID Bus	Tegangan	Arus hubung singkat 3 fasa 4 <i>cycle</i>
1	11kV MVSWG R	11 kV	19,47 kA
2	20kV MVSWG R	20 kV	18,57 kA
3	Bus11A	20 kV	18,85 kA
4	20BUS86	20 kV	21,71 kA
5	HVS-00-20kV/GI A	20 kV	21,74 kA
6	HVS-00-20kV/GI B	20 kV	21,74 kA
7	Bus 11	11.5 kV	23,95 kA
8	BUS GTG	11.5 kV	24,21 kA
9	HVS-02.A/20kV	20 kV	19,7 kA
10	HVS-02.A/20kV B	20 kV	19,7 kA
11	HVS-00-20kV/UT-L-P B	20 kV	19,7 kA

Untuk keperluan *setting* rele arus lebih waktu invers pada sistem kelistrikan PT. Petrokimia Gresik, dibutuhkan data arus hubung singkat maksimum 4 *cycle* untuk mencari nilai *time dial* pada rele yang memiliki waktu operasi ≤ 0.1 s, sesuai teori yang dipaparkan pada bab 2. Data arus hubung singkat yang mengalir pada rele ditunjukkan pada Tabel 4.5.

Tabel 4.5 Data arus hubung singkat 4 *cycle* melewati rele pada masing masing tipikal

Tipikal	ID Rele	Lokasi gangguan	Arus hubung singkat 2 fasa 30 <i>cycle</i> yang melewati rele
1	Relay 12	Bus11A	3,05 kA
	Relay 8	Bus11A	3,05 kA
	Relay 5	20kV MVSWGR	3,06 kA
	Relay 2	Sisi primer transformator IT	9,76 kA
	Relay 4	11kV MVSWGR	9,56 kA
2	Relay 12	Bus11A	15,1 kA
	Relay 3	Bus11A	15,1 kA
	Relay-GI04	20BUS86	17,98 kA
	Relay-GI02	HVS-00-20kV/GI A	7,14 kA
3	Relay-GI08	HVS-00-20kV/GI B	4,19 kA
	Relay-GI11	Bus11	13,58 kA
	Relay-CB5	BUS GTG	10,05 kA
	Relay CB-1	BUS GTG	10,88 kA
4	Relay-UT04	Sisi primer transformator TR 12	19,37 kA
	Relay-UT8	HVS-00-20kV/ UT-L-P-B	18,56 kA
	Relay-UT09	HVS-02.A/20kV	13,52 kA
	Relay-GI06	HVS-00-20kV /GI A	5,88 kA

4.4 Koordinasi Rele Arus Lebih untuk Gangguan Fasa

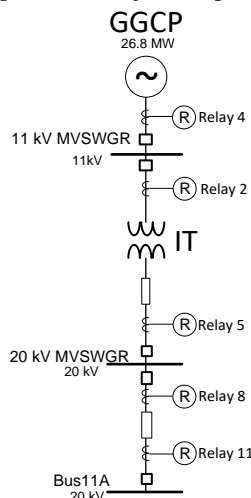
Koordinasi rele arus lebih gangguan fasa adalah koordinasi rele pengaman saat terjadi gangguan arus lebih berupa gangguan beban lebih (*overload*) dan gangguan hubung singkat (*short circuit*).

Pada proses *setting* rele arus lebih, umumnya terdapat beberapa parameter yaitu *pick up lowset* dan *time dial* untuk kurva *overcurrent*, dan *pick up high set* dan *time dial* untuk kurva *instantaneous*. Berdasarkan standard IEEE 242, selisih waktu kerja antara rele primer dan rele backup (*grading time*) untuk rele jenis digital adalah 0,2 sampai 0,3 detik.

Setelah melakukan *setting* rele arus lebih, langkah selanjutnya adalah plot *Time Current Curve* dengan menggunakan mode *Star-Protective Device Coordination* pada *software ETAP 12.6*. Setelah melakukan plot selanjutnya adalah melakukan peninjauan antara kurva rele-rele pada satu tipikal.

4.4.1 Koordinasi Rele Arus Lebih Gangguan Fasa Tipikal 1

Tipikal 1 adalah koordinasi pengaman dari pembangkit baru GGCP sampai dengan *feeder* pabrik AMUREA II. Pada tipikal ini terdapat transformator *step up* 11/20 kV sehingga dibutuhkan pengaturan rele pelindung transformator sesuai teori yang telah dipaparkan pada bab 2. Gambar rangkaian tipikal 1 ditunjukkan pada Gambar 4.3.



Gambar 4.3 Rangkaian *single line diagram* tipikal 1

Dari gambar 4.3 dapat dilihat bahwa antara Relay 11 dan Relay 8 adalah saluran penghubung, sehingga setting dari kedua rele berikut dapat dibuat identik. Dalam pengaturan Relay 11 dan 8 diperlukan data *Full Load Ampere* (FLA) yang didapatkan dari nilai FLA primer transformator di bawah Bus11A sebesar 577,4 Ampere.

Berikut merupakan perhitungan parameter yang diperlukan untuk *setting* masing-masing rele pada tipikal 1.

- **Relay 11**

<i>Manufacturer</i>	: Siemens
<i>Model</i>	: 7SJ62
Jumlah FLA primer trafo TR1 dan TR2	: 577,4 A
Iscmin 30 cycle Bus11A	
melalui Relay 11	: 2,32 kA
Iscmax 30 cycle Bus 11A	
melalui Relay 11	: 3,4 kA
<i>Curve Type</i>	: IEC - <i>Normal Inverse</i>
<i>CT Ratio</i>	: 800 / 1

Time Overcurrent Pickup

$$1,05 \times \text{FLA} (\text{TR1} + \text{TR2}) < \text{Iset} < 1,4 \times \text{FLA} (\text{TR1} + \text{TR2})$$

$$1,05 \times 577,4 < \text{Iset} < 1,4 \times 577,4$$

$$606,27 < \text{Iset} < 808,36$$

$$\frac{606,27}{800} \text{In} < \text{Tap} < \frac{808,36}{800} \text{In}$$

$$0,76 \text{ In} < \text{Tap} < 1,0105 \text{ In}$$

(range : 0,1 In sampai 2 In, dengan step 0,01 In)

Dipilih tap = 0.8 In

Iset = 640 A

Time dial

Waktu operasi (t) = 0,3 s

Menurut *Datasheet* rele Siemens 7SJ62, penentuan *time delay* dari tipe kurva IEC - *Normal Inverse* dapat menggunakan rumus :

$$t_d = \frac{0,14 \times T}{2,97 \times \left[\left(\frac{\text{Iscmax 30 cycle}}{\text{Iset}} \right)^{0,02} - 1 \right]}$$

$$T = \frac{t_d \times 2.97 \times \left[\left(\frac{I_{scmax} \text{ 30 cycle}}{I_{set}} \right)^{0.02} - 1 \right]}{0,14}$$

$$T = \frac{0,3 \times 2,97 \times \left[\left(\frac{2400}{640} \right)^{0,02} - 1 \right]}{0,14}$$

$T = 0,17048$ (dengan step 0.01)
 $time\ dial = 0,21$

Instantaneous Pickup

$1,6 \times \text{FLA}(\text{TR1} + \text{TR2}) < I_{set} < 0,8 \times I_{sc}$ min mengalir pada Relay 11

$$1,6 \times 577,4 < I_{set} < 0,8 \times 2320$$

$$923,84 < I_{set} < 1856$$

$$\frac{923,84}{800} \text{ In} < \text{Tap} < \frac{1856}{800} \text{ In}$$

1,1548 In < Tap < 2,32 In

(range : 0,1 In sampai 35 In, dengan step 0,01 In)

Dipilih tap = 2,31 In

I_{set} = 1848 A

Time delay

Dipilih *time delay* = 0,3 s

- Relay 8**

<i>Manufacturer</i>	: Schneider Electric
<i>Model</i>	: Sepam Series 10
Jumlah FLA primer transformtor	
TR1 dan TR2	: 577,4 A
Iscmin 30 cycle Bus 11A	
melalui Relay 8	: 2,32 kA
Iscmax 30 cycle Bus 11A	
melalui Relay 8	: 2,4 kA
<i>Curve Type</i>	: IEC – SIT/A
<i>CT Ratio</i>	: 500 / 1

Time Overcurrent Pickup

$$1,05 \times \text{FLA} (\text{TR1} + \text{TR2}) < I_{\text{set}} < 1,4 \times \text{FLA} (\text{TR1} + \text{TR2})$$

$$1,05 \times 577,4 < I_{\text{set}} < 1,4 \times 577,4$$

$$606,27 < I_{\text{set}} < 808,36$$

$$\frac{606,27}{500} \text{ In} < \text{Tap} < \frac{808,36}{500} \text{ In}$$

$$1,21 \text{ In} < \text{Tap} < 1,6167 \text{ In}$$

(range : 0,1 In sampai 2,4 In, dengan step 0,01 In)

Dipilih tap = 1,28 In

Iset = 640 A

Time dial

Waktu operasi (t) = 0,3 s

Menurut *Datasheet* rele Schneider Electric Sepam 10, penentuan *time delay* dari tipe kurva IEC – SIT/A dapat menggunakan rumus yang sama seperti *setting time dial* Relay 11, yaitu :

$$t_d = \frac{0,14 \times T}{2,97 \times \left[\left(\frac{\text{Iscmax } 30 \text{ cycle}}{\text{Iset}} \right)^{0,02} - 1 \right]}$$

Karena rumus, nilai parameter, nilai Iscmin 4 cycle dan nilai Iset pada Relay 8 sama dengan Relay 11, maka nilai *time dial* yang akan didapatkan juga akan sama, yaitu T = 0,17048 .

Maka,

$$\text{time dial} = 0,21$$

Instantaneous Pickup

$$1,6 \times \text{FLA} (\text{TR1} + \text{TR2}) < I_{\text{set}} < 0,8 \times \text{Isc min} \text{ mengalir pada Relay 11}$$

$$1,6 \times 577,4 < I_{\text{set}} < 0,8 \times 2320$$

$$923,84 < I_{\text{set}} < 1856$$

$$\frac{923,84}{500} \text{ In} < \text{Tap} < \frac{1856}{500} \text{ In}$$

$$1,84768 \text{ In} < \text{Tap} < 3,712 \text{ In}$$

(range : 0,1 In sampai 24 In, dengan step 0,1 In)

Dipilih tap = 3,7 In

Iset = 1850 A

Time delay

Dipilih *time delay* = 0,3 s

- **Relay 5**

<i>Manufacturer</i>	: General Electric Multilin
<i>Model</i>	: 345
FLA Sekunder Transformator IT	: 866 A
Iscmin 30 cycle bus 20kV MVSWGR melalui Relay 5	: 2,33 kA
Iscmax 30 cycle bus 20kV MVSWGR melalui Relay 5	: 2,4 kA
<i>Curve Type</i>	: IEC - A
<i>CT Ratio</i>	: 800 / 1

Time Overcurrent Pickup

$$1,05 \times \text{FLA sekunder IT} < \text{Iset} < 1,4 \times \text{FLA sekunder IT}$$

$$1,05 \times 866 < \text{Iset} < 1,4 \times 866$$

$$909,3 < \text{Iset} < 1212,4$$

$$\frac{909,3}{800} \text{ In} < \text{Tap} < \frac{1212,4}{800} \text{ In}$$

$$1,14 \text{ In} < \text{Tap} < 1,5155 \text{ In}$$

(range : 0,04 In sampai 20 In, dengan step 0,01 In)

Dipilih tap = 1,2 In

Iset = 960 A

Time dial

Waktu operasi (t) = 0,5 s

Menurut Datasheet rele GE Multilin 345, penentuan *time delay* dari tipe kurva IEC - A dapat menggunakan rumus :

$$t_d = T \times \frac{0,14}{\left[\left(\frac{\text{Iscmax 30 cycle}}{\text{Iset}} \right)^{0,02} - 1 \right]}$$

$$T = \frac{0,5 \times \left[\left(\frac{2400}{960} \right)^{0,02} - 1 \right]}{0,14}$$

$$T = 0,066 \quad (\text{dengan step 0.01})$$

$$\text{time dial set} = 0,2$$

Instantaneous Pickup

$1,6 \times \text{FLA sekunder IT} < I_{set} < 0,8 \times I_{sc \text{ min}}$ mengalir pada Relay 5

$$1,6 \times 866 < I_{set} < 0,8 \times 2330$$

$$1385,6 < I_{set} < 1864$$

$$\frac{1385,6}{800} \text{ In} < \text{Tap} < \frac{1864}{800} \text{ In}$$

$$1,732 \text{ In} < \text{Tap} < 2,33 \text{ In}$$

(range : 0,05 In sampai 20 In, dengan step 0,01 In)

Dipilih tap = 2,32 In

Iset = 1856 A

Time delay

Dipilih time delay = 0,5 s

- **Relay 2**

<i>Manufacturer</i>	: General Electric Multilin
<i>Model</i>	: 345
FLA primer Transformator IT	: 1575 A
Iscmin 30 cycle sisi primer transformator IT melalui Relay 2	: 6,97 kA
Iscmax 30 cycle sisi primer transformator IT melalui Relay 2	: 6,75 kA
Iscmin 30 cycle bus 11kV MVSWGR	: 14,65 kA (11kV)
Iscmax 4 cycle bus 20kV MVSWGR	: 18,57 kA (20kV)
Konversi ke 11kV	$\frac{20}{11} \times 18,57 = 33,76 \text{ kA (11 kV)}$
<i>Curve Type</i>	: IEC - A
<i>CT Ratio</i>	: 1800 / 1

Time Overcurrent Pickup

$1,05 \times \text{FLA primer IT} < I_{set} < 1,4 \times \text{FLA primer IT}$

$$1,05 \times 1575 < I_{set} < 1,4 \times 1575$$

$$1653,75 < I_{set} < 2205$$

$$\frac{1653,75}{1800} \text{ In} < \text{Tap} < \frac{2205}{1800} \text{ In}$$

$$0,92 \text{ In} < \text{Tap} < 1,225 \text{ In}$$

(range : 0,04 In sampai 20 In, dengan step 0,01 In)

Dipilih tap = 0,96 In

Iset = 1728 A

Time dial

Waktu operasi (t) = 0,7 s

Menurut Datasheet rele GE Multilin 345, penentuan *time delay* dari tipe kurva IEC - A dapat menggunakan rumus :

$$t_d = T \times \frac{0,14}{\left[\left(\frac{I_{scmax} \text{ 30 cycle}}{I_{set}} \right)^{0,02} - 1 \right]}$$

$$T = \frac{0,7 \times \left[\left(\frac{6750}{1728} \right)^{0,02} - 1 \right]}{0,14}$$

$$T = 0,138 \quad (\text{dengan step } 0,01) \\ time dial set = 0,3$$

Instantaneous Pickup

Relay 2 adalah rele pelindung transformator, oleh Karena itu dalam proses *setting* kurva *instantaneous* harus memperhatikan kondisi sesuai yang telah dipaparkan pada bab 2. Pada bagian sebelumnya, diperoleh data :

$I_{scmin} \text{ 30 cycle bus } 11\text{kV MVSWGR} = 14,65 \text{ kA (11 kV)}$

$I_{scmax} \text{ 4 cycle bus } 20\text{kV MVSWGR} = 33.76 \text{ kA (11 kV)}$
Karena dari data tersebut didapatkan kondisi :

$I_{scmax} \text{ 4 cycle sisi sekunder} > 0,8 \times I_{scmin} \text{ 30 cycle sisi primer}$
Maka :

$I_{set} < 0,8 \times I_{sc min}$ mengalir pada Relay 2

$I_{set} < 0,8 \times 6970$

$I_{set} < 5576$

$\text{Tap} < \frac{5576}{1800} \text{ In}$

$\text{Tap} < 3,0977 \text{ In}$

(range : 0,05 In sampai 20 In, dengan step 0,01 In)

Dipilih tap = 2.4 In

$I_{set} = 4320 \text{ A}$

Time delay

Dipilih *time delay* = 0,7 s

- **Relay 4**

<i>Manufacturer</i>	: General Electric Multilin
<i>Model</i>	: 489
FLA Sekunder Transformator IT	: 1655A
Iscmin 30 cycle bus 11kV MVSWGR melalui Relay 4	: 6,97 kA
Iscmax 30 cycle bus 11kV MVSWGR melalui Relay 4	: 6750 kA
<i>Curve Type</i>	: IEC - A
<i>CT Ratio</i>	: 1800 / 1

Time Overcurrent Pickup

$$1,05 \times \text{FLA GGCP} < \text{Iset} < 1,4 \times \text{FLA GGCP}$$

$$1,05 \times 1655 < \text{Iset} < 1,4 \times 1655$$

$$1737,75 < \text{Iset} < 2317$$

$$\frac{1737,75}{1800} \text{In} < \text{Tap} < \frac{2317}{1800} \text{In}$$

$$0,97 \text{In} < \text{Tap} < 1,2872 \text{In}$$

(range : 0,15 In sampai 20 In, dengan step 0,01 In)

Dipilih tap = 1 In

Iset = 1800 A

Time dial

Waktu operasi (t) = 0,9 s

Menurut *Datasheet* rele GE Multilin 489, penentuan *time delay* dari tipe kurva IEC - A dapat menggunakan rumus :

$$t_d = T \times \frac{0,14}{\left[\left(\frac{\text{Iscmax 30 cycle}}{\text{Iset}} \right)^{0,02} - 1 \right]}$$

$$T = \frac{0,9 \times \left[\left(\frac{6750}{1800} \right)^{0,02} - 1 \right]}{0,14}$$

$$T = 0,1722 \quad (\text{dengan step } 0,01)$$

time dial set = 0,4

Instantaneous Pickup

$$1,6 \times \text{FLA GGCP} < I_{set} < 0,8 \times I_{sc} \text{ min mengalir pada Relay 5}$$

$$1,6 \times 1655 < I_{set} < 0,8 \times 6970$$

$$2648 < I_{set} < 5576$$

$$\frac{2648}{1800} \text{ In} < \text{Tap} < \frac{5576}{1800} \text{ In}$$

$$1,4711 \text{ In} < \text{Tap} < 3,0977 \text{ In}$$

(range : 0,15 In sampai 20 In, dengan step 0,01 In)

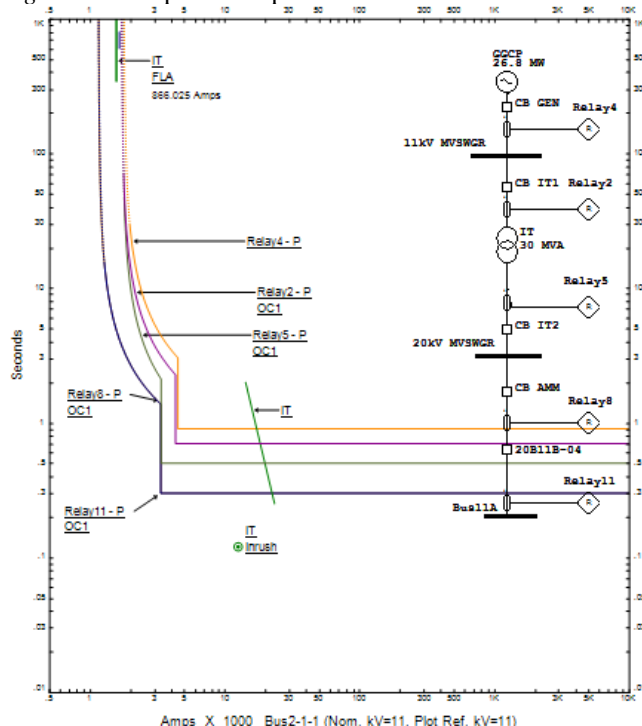
Dipilih tap = 2,5 In

Iset = 4500 A

Time delay

Dipilih time delay = 0,9 s

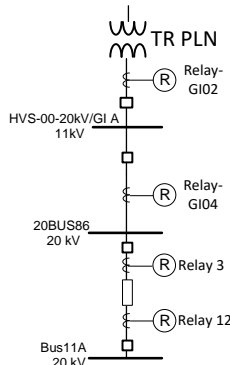
Gambar 4.4 merupakan *plot Time Current Curve* hasil perhitungan dan setting koordinasi proteksi tipikal 1.



Gambar 4.4 Plot Time-current curve tipikal 1

4.4.2 Koordinasi Rele Arus Lebih Gangguan Fasa Tipikal 2

Tipikal 2 adalah koordinasi pengaman dari rele pelindung sekunder transformator sumber PLN sampai dengan *feeder* pabrik AMUREA II. Gambar rangkaian tipikal 2 ditunjukkan pada Gambar 4.5.



Gambar 4.5 Rangkaian *single line diagram* tipikal 2

Berikut merupakan perhitungan parameter yang diperlukan untuk *setting* dari masing-masing rele pada tipikal 2.

- **Relay 12**

<i>Manufacturer</i>	: Siemens
<i>Model</i>	: 7SJ62
Jumlah FLA primer trafo TR1 dan TR2	: 577,4 A
Iscmin 30 cycle Bus11A	
melalui Relay 12	: 10,47 kA
Iscmax 30 cycle Bus 11A	
melalui Relay 12	: 11,5 kA
<i>Curve Type</i>	: IEC - Normal Inverse
<i>CT Ratio</i>	: 800 / 1

Time Overcurrent Pickup

$$1,05 \times \text{FLA} (\text{TR1} + \text{TR2}) < \text{Iset} < 1,4 \times \text{FLA} (\text{TR1} + \text{TR2})$$

$$1,05 \times 577,4 < \text{Iset} < 1,4 \times 577,4$$

$$606,27 < \text{Iset} < 808,36$$

$$\frac{606,27}{800} \text{In} < \text{Tap} < \frac{808,36}{800} \text{In}$$

$0,76 \text{ In} < \text{Tap} < 1,0105 \text{ In}$
 (range : 0,1 In sampai 2 In, dengan step 0,01 In)
 Dipilih tap = 0.8 In
 Iset = 640 A

Time dial

Waktu operasi (t) = 0,3 s
 Menurut Datasheet rele Siemens 7SJ62, penentuan *time delay* dari tipe kurva IEC - *Normal Inverse* dapat menggunakan rumus :

$$t_d = \frac{0,14 \times T}{2,97 \times \left[\left(\frac{\text{Iscmax } 30 \text{ cycle}}{\text{Iset}} \right)^{0,02} - 1 \right]}$$

$$T = \frac{0,3 \times 2,97 \times \left[\left(\frac{11500}{640} \right)^{0,02} - 1 \right]}{0,14}$$

$$\begin{aligned} T &= 0,3785 && \text{(dengan step 0.01)} \\ \text{time dial} &= 0,42 \end{aligned}$$

Instantaneous Pickup

$1,6 \times \text{FLA}(\text{TR1} + \text{TR2}) < I_{set} < 0,8 \times \text{Isc min}$ mengalir pada Relay 12
 $1,6 \times 577,4 < I_{set} < 0,8 \times 10470$
 $923,84 < I_{set} < 8376$
 $\frac{923,84}{800} \text{ In} < \text{Tap} < \frac{8376}{800} \text{ In}$
 $1,1548 \text{ In} < \text{Tap} < 10,47 \text{ In}$
 (range : 0,1 In sampai 35 In, dengan step 0,01 In)

Dipilih tap = 2,31 In
 Iset = 1848 A

Time delay

Dipilih *time delay* = 0,3 s

- **Relay 3**

<i>Manufacturer</i>	: Schneider Electric
<i>Model</i>	: Sepam Series 10
Jumlah FLA primer transformtor TR1 dan TR2	: 577,4 A
Iscmin 30 cycle Bus 11A melalui Relay 3	: 10,47 kA
Iscmax 30 cycle Bus 11A melalui Relay 3	: 11,5 kA
<i>Curve Type</i>	: IEC – SIT/A
<i>CT Ratio</i>	: 500 / 1

Time Overcurrent Pickup

$$1,05 \times \text{FLA} (\text{TR1} + \text{TR2}) < \text{Iset} < 1,4 \times \text{FLA} (\text{TR1} + \text{TR2})$$

$$1,05 \times 577,4 < \text{Iset} < 1,4 \times 577,4$$

$$606,27 < \text{Iset} < 808,36$$

$$\frac{606,27}{500} \text{In} < \text{Tap} < \frac{808,36}{500} \text{In}$$

$$1,21 \text{ In} < \text{Tap} < 1,6167 \text{ In}$$

(range : 0,1 In sampai 2,4 In, dengan step 0,01 In)

Dipilih tap = 1,28 In

Iset = 640 A

Time dial

Waktu operasi (t) = 0,3 s

Menurut *Datasheet* rele Schneider Electric Sepam 10, penentuan *time delay* dari tipe kurva IEC – SIT/A dapat menggunakan rumus yang sama seperti *setting time dial* Relay 12, yaitu :

$$t_d = \frac{0,14 \times T}{2.97 \times \left[\left(\frac{\text{Iscmax } 4 \text{ cycle}}{\text{Iset}} \right)^{0,02} - 1 \right]}$$

Karena rumus *time dial*, nilai parameter, nilai Iscmin 4 cycle dan nilai Iset pada Relay 3 sama dengan Relay 12, maka nilai *time dial* yang akan didapatkan juga akan sama, yaitu T = 0,3785. maka,

$$\text{time dial set} = 0,42 \quad (\text{dengan step 0.01})$$

Instantaneous Pickup

$$1,6 \times \text{FLA}(\text{TR1} + \text{TR2}) < I_{set} < 0,8 \times I_{sc \min} \text{ mengalir pada Relay 3}$$

$$1,6 \times 577,4 < I_{set} < 0,8 \times 10470$$

$$923,84 < I_{set} < 8376$$

$$\frac{923,84}{500} \text{ In} < \text{Tap} < \frac{8376}{500} \text{ In}$$

$$1,84768 \text{ In} < \text{Tap} < 16,752 \text{ In}$$

(range : 0,1 In sampai 24 In, dengan step 0,1 In)

Dipilih tap = 4 In

Iset = 2000 A

Time delay

Dipilih time delay = 0,3 s

- **Relay-GI04**

Manufacturer : Merlin Gerin

Model : Sepam 40

Jumlah FLA primer transformator

TR1,TR2, dan TR HVS-2210 : 649,57 A

Iscmin 30 cycle bus 20BUS86

melalui Relay-GI04 : 12,03 kA

Iscmax 30 cycle bus 20BUS86

melalui Relay-GI04 : 13,09 kA

Curve Type : IEC – Standard Inverse

CT Ratio : 800 / 5

Time Overcurrent Pickup

$$1,05 \times \text{FLA Transformer} < I_{set} < 1,4 \times \text{FLA Transformer}$$

$$1,05 \times 649,57 < I_{set} < 1,4 \times 649,57$$

$$682,049 < I_{set} < 909,4$$

$$\frac{682,049}{800} \text{ In} < \text{Tap} < \frac{909,4}{800} \text{ In}$$

$$0,85 \text{ In} < \text{Tap} < 1,1367 \text{ In}$$

(range : 0,1 In sampai 2,4 In, dengan step 0,01 In)

Dipilih tap = 0,9 In

Iset = 720 A

Time dial

Waktu operasi (t) = 0,5 s

Menurut *Datasheet* rele Merlin Gerin Sepam 40, penentuan *time delay* dari tipe kurva IEC – *Standard Inverse* dapat menggunakan rumus:

$$t_d = \frac{0,14 \times T}{2,97 \times \left[\left(\frac{I_{scmax} \text{ 30 cycle}}{I_{set}} \right)^{0,02} - 1 \right]}$$

$$T = \frac{t_d \times 2,97 \times \left[\left(\frac{I_{scmax} \text{ 30 cycle}}{I_{set}} \right)^{0,02} - 1 \right]}{0,14}$$

$$T = \frac{0,5 \times 2,97 \times \left[\left(\frac{13090}{720} \right)^{0,02} - 1 \right]}{0,14}$$

$$T = 0,6334$$

$$\text{time dial set} = 0,71 \quad (\text{dengan step } 0,01)$$

Instantaneous Pickup

$1,6 \times \text{FLA Trafo} < I_{set} < 0,8 \times I_{sc} \text{ min mengalir pada Relay-GI04}$

$$1,6 \times 649,57 < I_{set} < 0,8 \times 12030$$

$$1039,31 < I_{set} < 9624$$

$$\frac{1039,31}{800} \text{ In} < \text{Tap} < \frac{9624}{800} \text{ In}$$

$$1,299 \text{ In} < \text{Tap} < 12,03 \text{ In}$$

(range : 0,1 In sampai 24 In, dengan step 0,1 In)

Dipilih tap = 2,7 In

Iset = 2160 A

Time delay

Dipilih time delay = 0,5 s

- **Relay-GI02**

<i>Manufacturer</i>	: Merlin Gerin
<i>Model</i>	: Sepam 1000
FLA Sekunder TR PLN	: 721,7 A
Iscmin 30 cycle HVS-00-20kV/GI A	
melalui Relay-GI02	: 6,26 kA
Iscmax 4 cycle HVS-00-20kV/GI A	
melalui Relay-GI02	: 7,14 kA
<i>Curve Type</i>	: IEC – Standard Inverse
<i>CT Ratio</i>	: 1000 / 5

Time Overcurrent Pickup

$$1,05 \times \text{FLA sek. TR PLN} < \text{Iset} < 1,4 \times \text{FLA sek. TR PLN}$$

$$1,05 \times 721,7 < \text{Iset} < 1,4 \times 721,7$$

$$757,785 < \text{Iset} < 1010,4$$

$$\frac{757,785}{1000} \text{In} < \text{Tap} < \frac{1010,4}{1000} \text{In}$$

$$0,757 \text{ In} < \text{Tap} < 1,0104 \text{ In}$$

(range : 0,3 In sampai 2,4 In, dengan step 0,05 In)

Dipilih tap = 0,8 In

Iset = 800 A

Time dial

Waktu operasi (t) = 0,9 s

Menurut Datasheet rele Merlin Gerin Sepam 1000, penentuan *time delay* dari tipe kurva IEC – Standard Inverse dapat menggunakan rumus:

$$t_d = \frac{0,14 \times T}{2,97 \times \left[\left(\frac{\text{Iscmax 30 cycle}}{\text{Iset}} \right)^{0,02} - 1 \right]}$$

$$T = \frac{0,9 \times 2,97 \times \left[\left(\frac{7140}{800} \right)^{0,02} - 1 \right]}{0,14}$$

$$T = 0,8544$$

$$\text{time dial set} = 0,9 \quad (\text{dengan step 0,1})$$

Instantaneous Pickup

$1,6 \times \text{FLA Trafo} < I_{set} < 0,8 \times \text{Isc min}$ mengalir pada Relay-GI02

$$1,6 \times 721,7 < I_{set} < 0,8 \times 6260$$

$$1154,72 < I_{set} < 5008$$

$$\frac{1154,72}{1000} \text{ In} < \text{Tap} < \frac{5008}{1000} \text{ In}$$

$$1,15472 \text{ In} < \text{Tap} < 5,008 \text{ In}$$

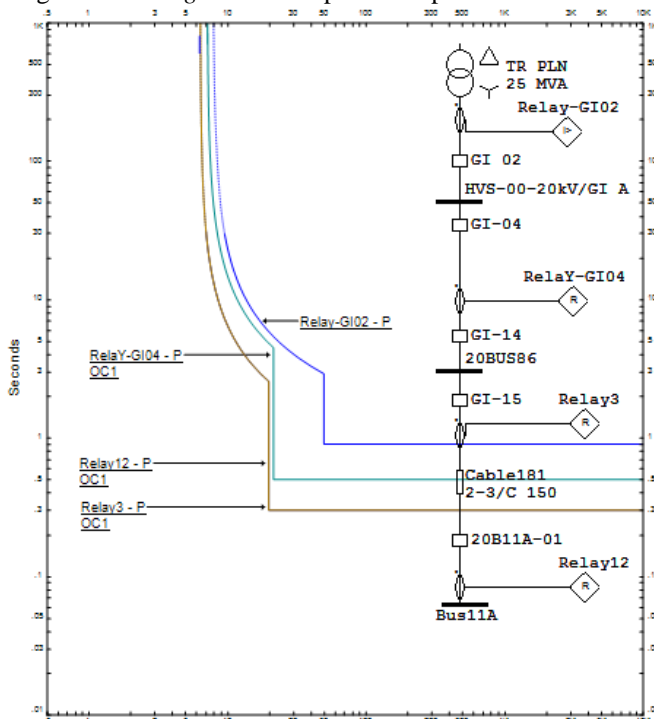
(range : 1 In sampai 30 In, dengan step 0,1 In)

Dipilih tap = 5 In

Iset = 5000 A

Dipilih time delay = 0,9 s

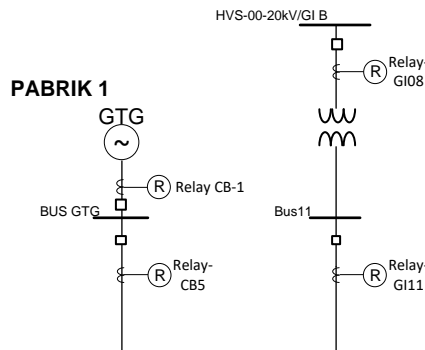
Gambar 4.6 merupakan plot Time Current Curve hasil perhitungan dan setting koordinasi proteksi tipikal 2.



Gambar 4.6 Plot Time-current curve tipikal 2

4.4.3 Koordinasi Rele Arus Lebih Gangguan Fasa Tipikal 3

Tipikal 3 merupakan koordinasi pengaman dari saluran penghubung *feeder* PLN melalui bus HVS-00-20kV/GI B dengan sistem kelistrikan pabrik 1. Gambar rangkaian tipikal 3 ditunjukkan pada Gambar 4.7.



Gambar 4.7 Rangkaian *single line diagram* tipikal 3

Berikut merupakan perhitungan parameter yang diperlukan untuk *setting* dari masing-masing rele yang terdapat pada tipikal 3.

- **Relay-GI11**

<i>Manufacturer</i>	: Merlin Gerin
<i>Model</i>	: Sepam 1000
FLA Sekunder TR GI	: 1255 A
Iscmin 30 cycle pada Bus11	
melalui Relay-GI11	: 7,81 kA
Iscmax 4 cycle pada Bus11	
melalui Relay-GI11	: 7,23 kA
<i>Curve Type</i>	: IEC – Standard Inverse
<i>CT Ratio</i>	: 800 / 5

Time Overcurrent Pickup

$$1,05 \times \text{FLA sekunder TR GI} < \text{Iset} < 1,4 \times \text{FLA sekunder TR GI}$$

$$1,05 \times 1255 < \text{Iset} < 1,4 \times 1255$$

$$1317,75 < \text{Iset} < 1757$$

$$\frac{1317,75}{800} \text{In} < \text{Tap} < \frac{1757}{800} \text{In}$$

$$1,65 \text{ In} < \text{Tap} < 2,1963 \text{ In}$$

(range : 0,3 In sampai 2,4 In, dengan step 0,05 In)

Dipilih tap = 1.85 In

Iset = 1480 A

Time dial

Waktu operasi (t) = 0,3 s

Menurut *Datasheet* rele Merlin Gerin Sepam 1000, penentuan *time delay* dari tipe kurva IEC – Standard Inverse dapat menggunakan rumus:

$$t_d = \frac{0,14 \times T}{2,97 \times \left[\left(\frac{I_{scmax} \text{ 30 cycle}}{I_{set}} \right)^{0,02} - 1 \right]}$$

$$T = \frac{0,3 \times 2,97 \times \left[\left(\frac{7230}{1400} \right)^{0,02} - 1 \right]}{0,14}$$

$$T = 0,2051$$

$$\text{time dial set} = 0,3 \quad (\text{dengan step } 0,1)$$

Instantaneous Pickup

$1,6 \times \text{FLA TR GI} < I_{set} < 0,8 \times \text{Isc min}$ mengalir pada Relay-GI11

$$1,6 \times 1255 < I_{set} < 0,8 \times 7810$$

$$2008 < I_{set} < 6248$$

$$\frac{2008}{800} \text{ In} < \text{Tap} < \frac{6248}{800} \text{ In}$$

$$2,51 \text{ In} < \text{Tap} < 7,81 \text{ In}$$

(range : 1 In sampai 30 In, dengan step 0,1 In)

Dipilih tap = 3,1 In

Iset = 2480 A

Time delay

Dipilih *time delay* = 0,3 s

- **Relay-CB5**
- | | |
|--|--------------------------|
| <i>Manufacturer</i> | : Merlin Gerin |
| <i>Model</i> | : Sepam 1000 |
| FLA Sekunder TR GI | : 1255 A |
| Iscmin 30 cycle pada BUS GTG melalui Relay-CB5 | : 7,89 kA |
| Iscmax 4 cycle pada BUS GTG melalui Relay-CB5 | : 8,9 kA |
| <i>Curve Type</i> | : IEC – Standard Inverse |
| <i>CT Ratio</i> | : 2500 / 5 |

Time Overcurrent Pickup

$$1,05 \times \text{FLA sekunder TR GI} < \text{Iset} < 1,4 \times \text{FLA sekunder TR GI}$$

$$1,05 \times 1255 < \text{Iset} < 1,4 \times 1255$$

$$1317,75 < \text{Iset} < 1757$$

$$\frac{1317,75}{2500} \text{In} < \text{Tap} < \frac{1757}{2500} \text{In}$$

$$0,53 \text{ In} < \text{Tap} < 0,7028 \text{ In}$$

(range : 0,3 In sampai 2,4 In, dengan step 0,05 In)

Dipilih tap = 0,6 In

Iset = 1500 A

Time dial

Waktu operasi (t) = 0,3 s

Menurut *Datasheet* rele Merlin Gerin Sepam 1000, penentuan *time delay* dari tipe kurva IEC – Standard Inverse dapat menggunakan rumus:

$$t_d = \frac{0,14 \times T}{2,97 \times \left[\left(\frac{\text{Iscmax 30 cycle}}{\text{Iset}} \right)^{0,02} - 1 \right]}$$

$$T = \frac{0,3 \times 2,97 \times \left[\left(\frac{8900}{1500} \right)^{0,02} - 1 \right]}{0,14}$$

$$T = 0,2307$$

$$\text{time dial set} = 0,3 \quad (\text{dengan step 0,1})$$

Instantaneous Pickup

$1,6 \times \text{FLA TR GI} < I_{set} < 0,8 \times \text{Isc min}$ mengalir pada Relay-GI11

$$1,6 \times 1255 < I_{set} < 0,8 \times 7890$$

$$2008 < I_{set} < 6312$$

$$\frac{2008}{2500} \text{ In} < \text{Tap} < \frac{6248}{2500} \text{ In}$$

$$0,8032 \text{ In} < \text{Tap} < 2,5248 \text{ In}$$

(range : 1 In sampai 30 In, dengan step 0,1 In)

Dipilih tap = 1 In

Iset = 2500 A

Time delay

Dipilih time delay = 0,3 s

• Relay-GI08

<i>Manufacturer</i>	: Merlin Gerin
<i>Model</i>	: Sepam 1000
FLA primer TR GI	: 721,7 A
Iscmin 30 cycle HVS-00-20kV/GI B	
melalui Relay-GI08	: 2,83 kA
Iscmax 30 cycle HVS-00-20kV/GI B	
melalui Relay-GI08	: 2,85 kA
Iscmin 30 cycle HVS-00-20kV/GI B	: 14,16 kA (20 kV)
Iscmax 4 cycle Bus11	: 23,95 kA (11,5 kV)
Konversi ke 20 kV	: $\frac{11,5}{20} \times 23,95 = 13,771 \text{ kA}(11,5 \text{ kV})$
<i>Curve Type</i>	: IEC – Standard Inverse
<i>CT Ratio</i>	: 800 / 5

Time Overcurrent Pickup

$1,05 \times \text{FLA primer TR GI} < I_{set} < 1,4 \times \text{FLA primer TR GI}$

$$1,05 \times 721,7 < I_{set} < 1,4 \times 721,7$$

$$757,785 < I_{set} < 1010,4$$

$$\frac{757,785}{800} \text{ In} < \text{Tap} < \frac{1010,4}{800} \text{ In}$$

$$0,95 \text{ In} < \text{Tap} < 1,263 \text{ In}$$

(range : 0,3 In sampai 2,4 In, dengan step 0,05 In)

Dipilih tap = 1 In

Iset = 800 A

Time dial

Waktu operasi (t) = 0,5 s

Menurut *Datasheet* rele Merlin Gerin Sepam 1000, penentuan *time delay* dari tipe kurva IEC – Standard Inverse dapat menggunakan rumus :

$$t_d = \frac{0,14 \times T}{2,97 \times \left[\left(\frac{I_{scmax} 30 \text{ cycle}}{I_{set}} \right)^{0,02} - 1 \right]}$$

$$T = \frac{0,5 \times 2,97 \times \left[\left(\frac{2850}{800} \right)^{0,02} - 1 \right]}{0,14}$$

$$T = 0,2729$$

time dial set = 1,3 (dengan step 0,1)

Instantaneous Pickup

Relay-GI08 merupakan rele pelindung transformator, oleh Karena itu dalam proses *setting* kurva *instantaneous* harus memperhatikan kondisi sesuai yang telah dipaparkan pada bab 2. Pada bagian sebelumnya, diperoleh data :

$$\begin{aligned} 0,8 \times I_{scmin} 30 \text{ cycle HVS-00-20kV/GI B} &= 0,8 \times 14160 \\ &= 11,328 \text{ kA (11,5kV)} \\ I_{scmax} 4 \text{ cycle Bus 11} &= 13,771 \text{ kA (11,5kV)} \end{aligned}$$

Karena dari data tersebut didapatkan kondisi :

$I_{scmax} 4 \text{ cycle}$ sisi sekunder > $0,8 \times I_{scmin} 30 \text{ cycle}$ sisi primer
Maka :

$I_{set} < 0,8 \times I_{scmin} 30 \text{ cycle}$ mengalir pada Relay-GI08

$I_{set} < 0,8 \times 2830$

$I_{set} < 2264$

$\text{Tap} < \frac{2264}{800} \text{ In}$

$\text{Tap} < 2,83 \text{ In}$

(range : 1 In sampai 30 In, dengan step 0,1 In)

Dipilih tap = 2,7 In

$I_{set} = 2160 \text{ A}$

Time delay

Dipilih *time delay* = 0,5 s

- **Relay CB-1**

<i>Manufacturer</i>	: Merlin Gerin
<i>Model</i>	: Sepam 1000
FLA Generator GTG	: 2071 A
Iscmin 30 cycle pada BUS GTG	
melalui Relay CB-1	: 8,03 kA
Iscmax 30 cycle pada BUS GTG	
melalui Relay CB-1	: 7,39 kA
<i>Curve Type</i>	: IEC – Standard Inverse
<i>CT Ratio</i>	: 3000 / 5

Time Overcurrent Pickup

$$1,05 \times \text{FLA Generator GTG} < \text{Iset} < 1,4 \times \text{FLA Generator GTG}$$

$$1,05 \times 2071 < \text{Iset} < 1,4 \times 2071$$

$$2174,55 < \text{Iset} < 2899,4$$

$$\frac{2174,55}{3000} \text{In} < \text{Tap} < \frac{2899,4}{3000} \text{In}$$

$$0,72 \text{ In} < \text{Tap} < 0,9665 \text{ In}$$

(range : 0,3 In sampai 2,4 In, dengan step 0,05 In)

Dipilih tap = 0,75 In

Iset = 2250 A

Time dial

Waktu operasi (t) = 0,5 s

Menurut *Datasheet* rele Merlin Gerin Sepam 1000, penentuan *time delay* dari tipe kurva IEC – Standard Inverse dapat menggunakan rumus:

$$t_d = \frac{0,14 \times T}{2,97 \times \left[\left(\frac{\text{Iscmax 30 cycle}}{\text{Iset}} \right)^{0,02} - 1 \right]}$$

$$T = \frac{0,5 \times 2,97 \times \left[\left(\frac{7390}{2250} \right)^{0,02} - 1 \right]}{0,14}$$

$$T = 0,2553$$

$$\text{time dial set} = 0,6 \quad (\text{dengan step 0,1})$$

Instantaneous Pickup

$1,6 \times \text{Generator GTG} < I_{set} < 0,8 \times I_{sc\min}$ mengalir pada Relay-GI11

$$1,6 \times 2071 < I_{set} < 0,8 \times 8030$$

$$3313,6 < I_{set} < 6424$$

$$\frac{3313,6}{3000} \text{ In} < \text{Tap} < \frac{6424}{3000} \text{ In}$$

$$1,1045 \text{ In} < \text{Tap} < 2,14133 \text{ In}$$

(range : 1 In sampai 30 In, dengan step 0,1 In)

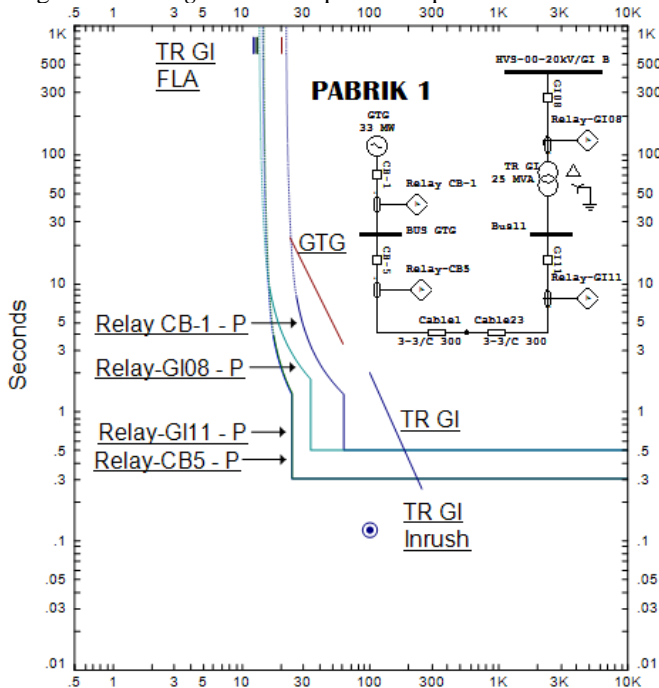
Dipilih tap = 2,1 In

Iset = 6300 A

Time delay

Dipilih time delay = 0,5 s

Gambar 4.8 merupakan *plot Time Current Curve* hasil perhitungan dan *setting* koordinasi proteksi tipikal 3.

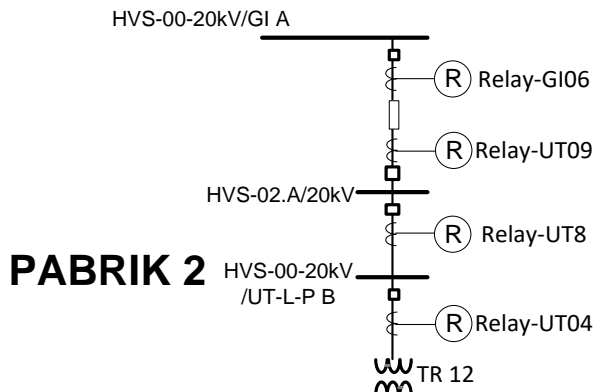


Amps X 100 Bus11 (Nom. kV=11.5, Plot Ref. kV=11.5)

Gambar 4.8 Plot *Time-current curve* tipikal 3.

4.4.3 Koordinasi Rele Arus Lebih Gangguan Fasa Tipikal 4

Tipikal 4 merupakan koordinasi pengaman dari saluran penghubung *feeder* PLN dengan sistem kelistrikan pabrik 2. Pada tipikal ini akan dilakukan koordinasi rele proteksi dari Relay-GI06 yang merupakan pelindung bus HVS-00-20kV/GI A sampai dengan Relay-UT04 yang merupakan rele pelindung sistem kelistrikan pada pabrik 2. Gambar rangkaian tipikal 3 ditunjukkan pada Gambar 4.9.



Gambar 4.9 Rangkaian *single line diagram* tipikal 4

Berikut merupakan perhitungan parameter yang diperlukan untuk *setting* dari masing-masing rele yang terdapat pada tipikal 4.

- **Relay-UT04**

Manufacturer : Merlin Gerin

Model : Sepam 1000

FLA Primer TR 12 : 230,9 A

Iscmin 30 cycle pada sisi primer TR 12

melalui Relay-UT04 : 12,87 kA

Iscmax 4 cycle pada sisi primer TR 12

melalui Relay-UT04 : 19,37 kA

Curve Type : IEC – Standard Inverse

CT Ratio : 300 / 5

Time Overcurrent Pickup

$$1,05 \times \text{FLA Primer TR } 12 < I_{set} < 1,4 \times \text{FLA primer TR } 12$$

$$1,05 \times 230,9 < I_{set} < 1,4 \times 230,9$$

$$242,445 < I_{set} < 323,26$$

$$\frac{242,445}{300} \text{ In} < \text{Tap} < \frac{323,26}{300} \text{ In}$$

$$0,81 \text{ In} < \text{Tap} < 1,0775 \text{ In}$$

(range : 0,3 In sampai 2,4 In, dengan step 0,05 In)

Dipilih tap = 0,85 In

Iset = 255 A

Time dial

Waktu operasi (t) = 0,1 s

Menurut Datasheet rele Merlin Gerin Sepam 1000, penentuan *time delay* dari tipe kurva IEC – Standard Inverse dapat menggunakan rumus:

$$t_d = \frac{0,14 \times T}{2,97 \times \left[\left(\frac{\text{Iscmax 4 cycle}}{I_{set}} \right)^{0,02} - 1 \right]}$$

$$T = \frac{0,1 \times 2,97 \times \left[\left(\frac{19370}{255} \right)^{0,02} - 1 \right]}{0,14}$$

$$T = 0,1919$$

$$\text{time dial set} = 0,2 \quad (\text{dengan step 0,1})$$

Instantaneous Pickup

$$1,6 \times \text{FLA TR } 12 < I_{set} < 0,8 \times \text{Isc min mengalir pada Relay-UT04}$$

$$1,6 \times 230,9 < I_{set} < 0,8 \times 12870$$

$$369,44 < I_{set} < 10296$$

$$\frac{369,44}{300} \text{ In} < \text{Tap} < \frac{10296}{300} \text{ In}$$

$$1,23147 \text{ In} < \text{Tap} < 34,32 \text{ In}$$

(range : 1 In sampai 30 In, dengan step 0,1 In)

Dipilih tap = 8 In

Iset = 2400 A

Time delay

Dipilih *time delay* = 0,1 s

- **Relay-UT8**

<i>Manufacturer</i>	: Merlin Gerin
<i>Model</i>	: Sepam 1000
Kapasitas penghantar Saluran-3	: 595,7 A
Iscmin 30 cycle pada HVS-00-20kV /UT-L-P B melalui Relay-UT8	: 12,87 kA
Iscmax 30 cycle pada HVS-00-20kV /UT-L-P B melalui Relay-UT8	: 14,09 kA
<i>Curve Type</i>	: IEC – Standard Inverse
<i>CT Ratio</i>	: 1200 / 5

Time Overcurrent Pickup

$$1,05 \times \text{Kap. Saluran} - 3 < \text{Iset} < 1,4 \times \text{Kap. Saluran} - 3$$

$$1,05 \times 595,7 < \text{Iset} < 1,4 \times 595,7$$

$$625,485 < \text{Iset} < 833,98$$

$$\frac{625,485}{1200} \text{In} < \text{Tap} < \frac{833,98}{1200} \text{In}$$

$$0.52 \text{ In} < \text{Tap} < 0.695 \text{ In}$$

(range : 0,1 In sampai 2,4 In, dengan step 0,1 In)

Dipilih tap = 0.6 In

Iset = 720 A

Time dial

Waktu operasi (t) = 0,3 s

Menurut *Datasheet* rele Merlin Gerin Sepam 1000, penentuan *time delay* dari tipe kurva IEC – Standard Inverse dapat menggunakan rumus:

$$t_d = \frac{0,14 \times T}{2,97 \times \left[\left(\frac{\text{Iscmax 30 cycle}}{\text{Iset}} \right)^{0,02} - 1 \right]}$$

$$T = \frac{0,3 \times 2,97 \times \left[\left(\frac{14090}{720} \right)^{0,02} - 1 \right]}{0,14}$$

$$T = 0,3792$$

time dial set = 0,4 (dengan step 0.1)

Instantaneous Pickup

$1,6 \times \text{FLA total} < I_{set} < 0,8 \times \text{Isc min}$ mengalir pada Relay-UT04

$$1,6 \times 692,7 < I_{set} < 0,8 \times 12870$$

$$1108,32 < I_{set} < 10296$$

$$\frac{1108,32}{1200} \text{ In} < \text{Tap} < \frac{10296}{1200} \text{ In}$$

$$0,9236 \text{ In} < \text{Tap} < 8,58 \text{ In}$$

(range : 1 In sampai 30 In, dengan step 0,1 In)

Dipilih tap = 1,9 In

Iset = 2280 A

Time delay

Dipilih time delay = 0,3 s

- **Relay-UT09**

Manufacturer : Merlin Gerin

Model : Sepam 40

Kapasitas penghantar Saluran-3 : 595,7 A

Iscmin 30 cycle pada HVS-02.A/20kV

melalui Relay-UT09 : 9,84 kA

Iscmax 30 cycle pada HVS-02.A/20kV

melalui Relay-UT09 : 10,91 kA

Curve Type : IEC – Standard Inverse

CT Ratio : 1200 / 5

Time Overcurrent Pickup

$1,05 \times \text{Kap. Saluran} - 3 < \text{Iset} < 1,4 \times \text{Kap. Saluran} - 3$

$$1,05 \times 595,7 < \text{Iset} < 1,4 \times 595,7$$

$$625,485 < \text{Iset} < 833,98$$

$$\frac{625,485}{1200} \text{ In} < \text{Tap} < \frac{833,98}{1200} \text{ In}$$

$$0,52 \text{ In} < \text{Tap} < 0,695 \text{ In}$$

(range : 0,1 In sampai 2,4 In, dengan step 0,1 In)

Dipilih tap = 0,6 In

Iset = 720 A

Time dial

Waktu operasi (t) = 0,5 s

Menurut *Datasheet* rele Merlin Gerin Sepam 1000, penentuan *time delay* dari tipe kurva IEC – *Standard Inverse* dapat menggunakan rumus:

$$t_d = \frac{0,14 \times T}{2,97 \times \left[\left(\frac{I_{\text{scmax 30 cycle}}}{I_{\text{set}}} \right)^{0,02} - 1 \right]}$$

$$T = \frac{0,5 \times 2,97 \times \left[\left(\frac{10910}{720} \right)^{0,02} - 1 \right]}{0,14}$$

$$T = 0,592$$

time dial set = 0,6 (dengan step 0,1)

Instantaneous Pickup

$1,6 \times \text{Kap. Saluran-3} < I_{\text{set}} < 0,8 \times \text{Isc min}$ mengalir pada Relay-UT09

$$1,6 \times 595,7 < I_{\text{set}} < 0,8 \times 9840$$

$$953,12 < I_{\text{set}} < 7872$$

$$\frac{953,12}{1200} \text{ In} < \text{Tap} < \frac{7872}{1200} \text{ In}$$

$$0,794 \text{ In} < \text{Tap} < 6,56 \text{ In}$$

(range : 1 In sampai 30 In, dengan step 0,1 In)

Dipilih tap = 6,5 In

Iset = 7800 A

Time delay

Dipilih *time delay* = 0,5 s

- **Relay-GI06**

Manufacturer : Merlin Gerin

Model : Sepam 1000

Kapasitas penghantar Saluran-3 : 595,7 A

Iscmin 30 cycle pada HVS-00-20kV

/GI A melalui Relay-GI06 : 2,97 kA

Iscmax 30 cycle pada HVS-00-20kV

/GI A melalui Relay-GI06 : 3,12 kA

Curve Type : IEC – *Standard Inverse*

CT Ratio : 600 / 5

Time Overcurrent Pickup

$$1,05 \times \text{Kap. Saluran} - 3 < I_{set} < 1,4 \times \text{Kap. Saluran} - 3$$

$$1,05 \times 595,7 < I_{set} < 1,4 \times 595,7$$

$$625,485 < I_{set} < 833,98$$

$$\frac{625,485}{600} \text{ In} < \text{Tap} < \frac{833,98}{600} \text{ In}$$

$$1,04 \text{ In} < \text{Tap} < 1,39 \text{ In}$$

(range : 0,3 In sampai 2,4 In, dengan step 0,05 In)

Dipilih tap = 1,2 In

Iset = 720 A

Time dial

Waktu operasi (t) = 0,5 s

Menurut *Datasheet* rele Merlin Gerin Sepam 1000, penentuan *time delay* dari tipe kurva IEC – Standard Inverse dapat menggunakan rumus:

$$t_d = \frac{0,14 \times T}{2,97 \times \left[\left(\frac{\text{Iscmax } 30 \text{ cycle}}{\text{Iset}} \right)^{0,02} - 1 \right]}$$

$$T = \frac{0,5 \times 2,97 \times \left[\left(\frac{3120}{720} \right)^{0,02} - 1 \right]}{0,14}$$

$$T = 0,3156$$

time dial set = 0,6 (dengan step 0,1)

Instantaneous Pickup

$$1,6 \times \text{Kap. Saluran} - 3 < I_{set} < 0,8 \times \text{Isc min} \text{ mengalir pada Relay-GI11}$$

$$1,6 \times 595,7 < I_{set} < 0,8 \times 2970$$

$$953,12 < I_{set} < 2376$$

$$\frac{953,12}{600} \text{ In} < \text{Tap} < \frac{2376}{600} \text{ In}$$

$$3,6947 \text{ In} < \text{Tap} < 3,96 \text{ In}$$

(range : 1 In sampai 30 In, dengan step 0,1 In)

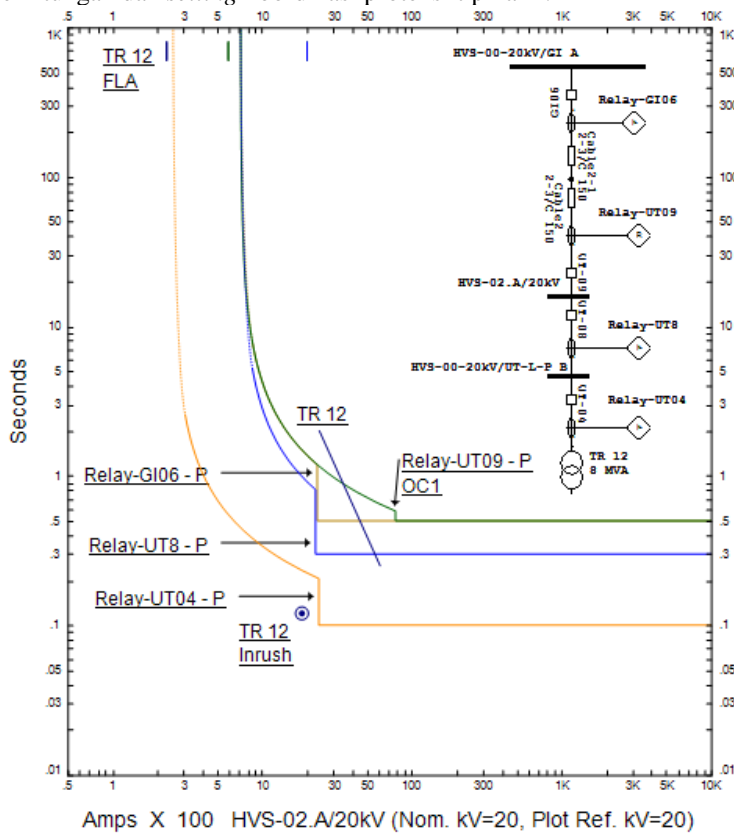
Dipilih tap = 3,9 In

Iset = 2340 A

Time delay

Dipilih time delay = 0,5 s

Gambar 4.10 merupakan *plot Time Current Curve* hasil perhitungan dan *setting* koordinasi proteksi tipikal 4.



Gambar 4.10 Plot Time-current curve tipikal 4

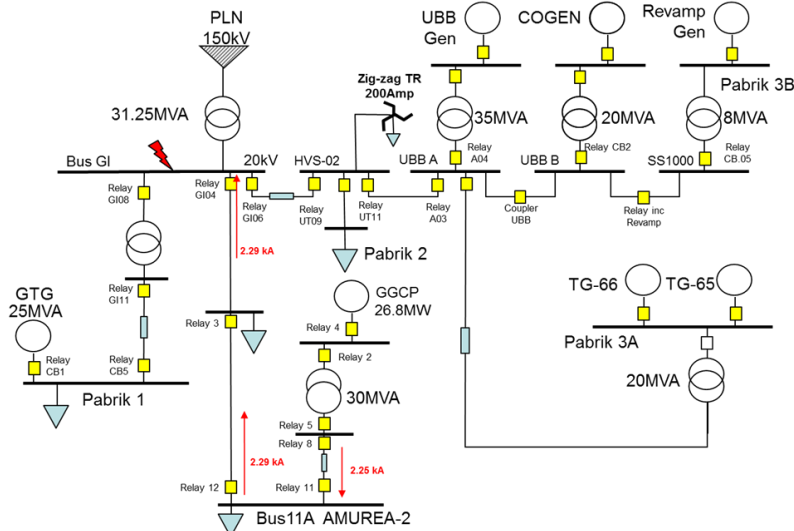
4.5 Analisis Koordinasi Proteksi pada Sistem Kelistrikan baru

Ketika terjadi gangguan hubung singkat, generator baru (GGCP) akan memberikan arus kontribusi kepada titik terjadinya gangguan. Nilai arus kontribusi yang berasal dari generator GGCP tersebut berbeda-beda tergantung dari lokasi terjadinya gangguan, sehingga diperlukan analisis koordinasi proteksi pada rele yang terdapat di sistem kelistrikan baru ketika terjadi gangguan pada jaringan interkoneksi PT.Petrokimia Gresik.

Analisis ini dilakukan dengan mengambil dua kasus dimana kasus pertama adalah ketika gangguan hubung singkat antar fasa (L-L) terjadi pada bus HVS-00-20kV/GI A dan kasus kedua adalah pada pada bus UBB 20 kV A. Setelah diberikan gangguan, akan dilihat kondisi koordinasi rele proteksi pada sistem kelistrikan baru. Pada analisis ini, pengamatan koordinasi rele dilakukan pada Relay 11, Relay 8, Relay 12, dan Relay 3.

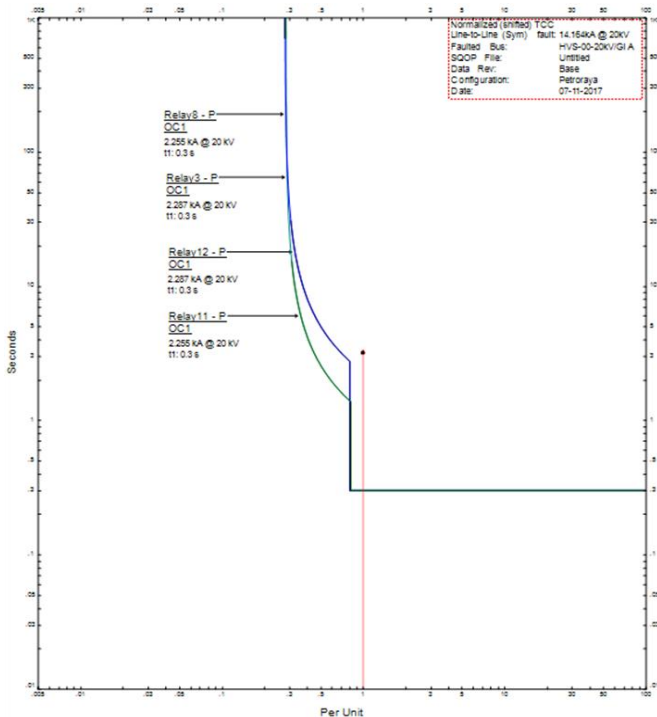
4.5.1 Studi Koordinasi Rele Proteksi Baru Terhadap Gangguan pada Bus HVS-00-20kV/GI A

Pada kasus ini, dilakukan simulasi gangguan antar fasa pada bus HVS-00-20kV/GI A, kemudian akan dilihat arus kontribusi yang berasal dari generator baru GGCP. Pada Gambar 4.11 akan ditunjukkan arus kontribusi GGCP ketika gangguan terjadi pada bus HVS-00-20kV/GI A.



Gambar 4.11 Arus kontribusi GGCP ketika gangguan pada Bus GI

Dari gambar 4.11, dapat dilihat bahwa arus yang mengalir melalui Relay 8 dan Relay 11 adalah sebesar 2.26 kA. Kemudian arus yang mengalir melalui Relay 12 dan Relay 3 adalah sebesar 2.29 kA. Setelah mengetahui nilai arus hubung singkat, selanjutnya adalah melihat dan menganalisis kurva TCC dari keempat relay tersebut.

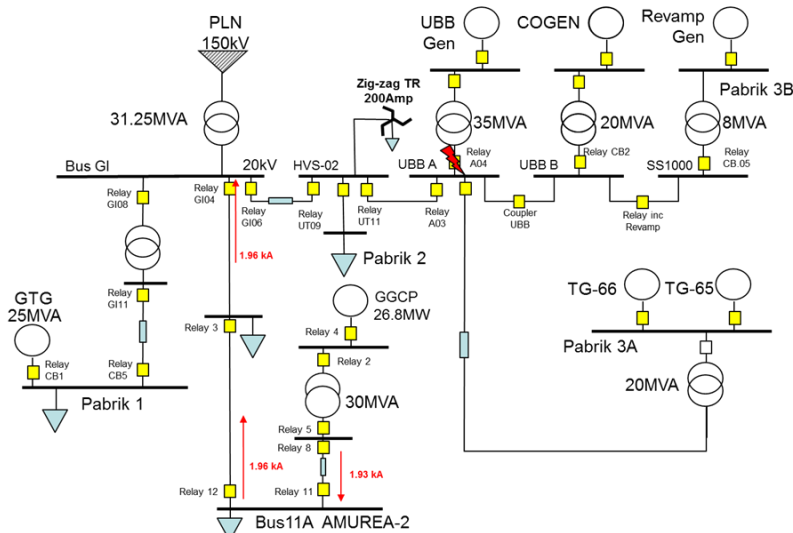


Gambar 4.12 Koordinasi rele baru terhadap gangguan pada Bus GI

Dari plot *Time-Current Curve* (TCC) di atas, dapat dilihat bahwa keempat relay tersebut akan bekerja ketika terjadi gangguan pada bus GI. Keempat relle tersebut akan bekerja sesuai dengan waktu tunda yang telah di atur pada bagian sebelumnya. Relay 11 dan Relay 12 akan bekerja bersamaan pada waktu tunda 0.3s, sementara Relay 8 dan Relay 3 akan bekerja bersamaan pada waktu tunda 0.5s. Dari kondisi ini dapat disimpulkan bahwa ketika terjadi gangguan pada bus GI, sistem kelistrikan pabrik baru Amurea II dan GGCP akan terlepas dari jaringan interkoneksi.

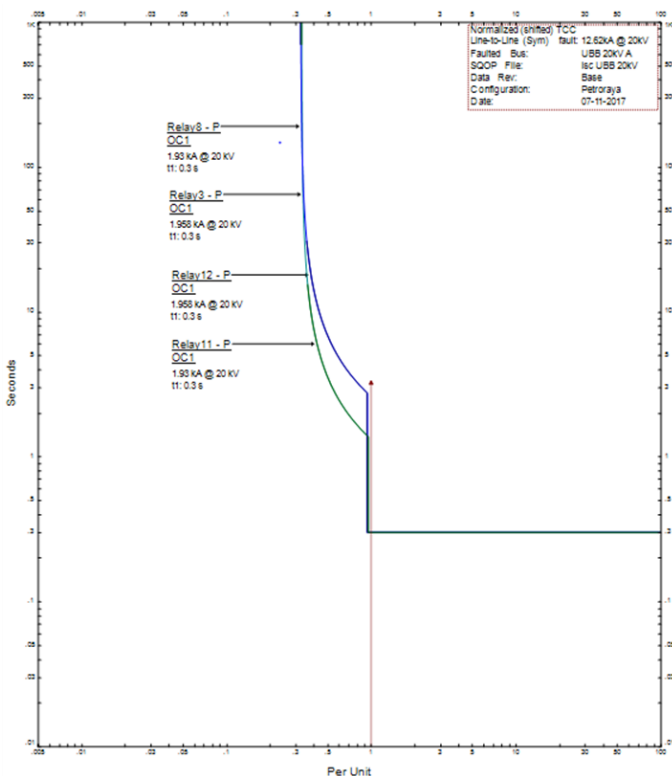
4.5.2 Studi Koordinasi Rele Proteksi Baru Terhadap Gangguan pada Bus UBB 20 kV A

Pada kasus ini, dilakukan simulasi gangguan antar fasa pada bus UBB 20 kV A, kemudian akan dilihat arus kontribusi yang berasal dari generator baru GGCP. Pada Gambar 4.11 akan ditunjukkan arus kontribusi GGCP ketika gangguan terjadi pada bus UBB 20 kV A.



Gambar 4.13 Arus kontribusi GGCP ketika gangguan pada Bus UBB

Dari gambar 4.12, dapat dilihat bahwa arus yang mengalir melalui Relay 8 dan Relay 11 adalah sebesar 1.93 kA. Kemudian arus yang mengalir melalui Relay 12 dan Relay 3 adalah sebesar 1.96 kA. Nilai arus yang mengalir pada rele-rele tersebut akan menentukan perintah yang akan diberikan keempat rele tersebut kepada pemutus jaringan (*Circuit breaker*). Jika dibandingkan dengan kasus pertama, arus kontribusi yang diberikan oleh generator GGCP ketika gangguan pada bus UBB adalah lebih kecil dibandingkan dengan saat gangguan pada bus GI. Setelah mengetahui nilai arus hubung singkat, selanjutnya adalah melihat dan menganalisis kurva TCC dari keempat relay tersebut.



Gambar 4.14 Koordinasi rele baru terhadap gangguan pada Bus UBB

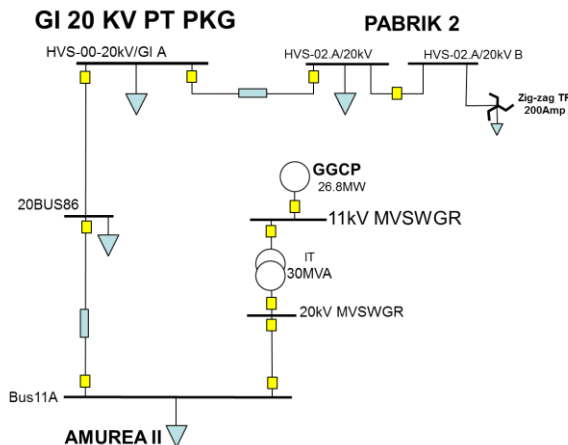
Dari plot *Time-Current Curve* (TCC) di atas, dapat dilihat bahwa keempat relay tersebut akan bekerja ketika terjadi gangguan pada bus UBB. Keempat relle tersebut akan bekerja sesuai dengan waktu tunda yang telah di atur pada bagian sebelumnya. Relay 11 dan Relay 12 akan bekerja bersamaan pada waktu tunda 0.3s, sementara Relay 8 dan Relay 3 akan bekerja bersamaan pada waktu tunda 0.5s. Dari kondisi ini dapat disimpulkan bahwa ketika terjadi gangguan pada bus UBB, sistem kelistrikan pabrik baru Amurea II dan GGCP akan terlepas dari jaringan interkoneksi.

4.6 Koordinasi Rele Arus Lebih Gangguan ke Tanah

Gangguan hubung singkat 1 fasa ke tanah merupakan gangguan yang paling sering terjadi pada sistem tenaga listrik. Oleh karena itu diperlukan koordinasi rele arus lebih gangguan ke tanah agar tercapainya keandalan sistem yang handal serta keamanan bagi peralatan dan pekerja.

Pengaturan (*setting*) koordinasi rele arus lebih gangguan ke tanah hanya dilakukan pada *Instantaneous Pickup* dan waktu operasi/waktu tundanya saja. *Setting* arus-waktu untuk rele arus lebih gangguan ke tanah pada sistem kelistrikan PT.Petrokimia Gresik berbeda dengan sistem kelistrikan pada umumnya, karena terdapat transformator zigzag yang juga dilengkapi dengan *neutral grounding resistor* (NGR). NGR yang digunakan pada sistem kelistrikan PT. Petrokimia Gresik akan membatasi arus maksimal yang melalui NGR tersebut sebesar 200 Ampere.

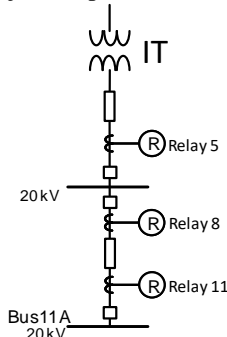
Dalam proses *setting* rele arus lebih gangguan ke tanah, diasumsikan arus yang mengalir dari fasa ke tanah adalah sebesar arus maksimal yang melalui NGR. Sehingga arus yang digunakan dalam *setting pick up* adalah arus maksimum melalui NGR ZIGZAG TR sebesar 200 A. Untuk *setting time delay*, diatur sesuai koordinasi yang dimulai dari beban terjauh sampai dengan sumber gangguan ke tanah (Transformator Zigzag) dengan selisih waktu tunda 0.2s. Gambar rangkaian *Single Line Diagram* tipikal gabungan (tipikal 5, tipikal 6, dan tipikal 7) ditunjukkan pada Gambar 4.15.



Gambar 4.15 Rangkaian *single line diagram* tipikal gabungan

4.6.1 Koordinasi Rele Arus Lebih Gangguan Ke Tanah Tipikal 7

Koordinasi rele arus lebih gangguan ke tanah tipikal 7 merupakan koordinasi penghubung antara pabrik Amurea II dengan pembangkit GGCP. Karena terdapat transformator IT yang memiliki belitan *delta-wye*, setting pada tipikal ini hanya dilakukan dari Bus11A sampai dengan rele pelindung sisi sekunder transformator IT. Rele yang akan diatur pada tipikal ini meliputi Relay-GI04, Relay3, dan Relay12. Gambar *single line diagram* dari tipikal 7 ditunjukkan pada Gambar 4.16



Gambar 4.16 Rangkaian *single line diagram* tipikal 7

Berikut merupakan perhitungan parameter yang diperlukan untuk setting dari masing-masing rele arus lebih gangguan ke tanah yang terdapat pada tipikal 7.

- **Relay 11**

<i>Manufacturer</i>	: Siemens
<i>Model</i>	: 7SJ62
Arus maksimum NGR pada ZIGZAG TR	: 200 A
<i>Curve Type</i>	: <i>Definite</i>
<i>CT Ratio</i>	: 50 / 1

Instantaneous Pickup

5-10% Arus maksimum NGR < I_{set} < 50% Arus maksimum NGR

$$5-10\% \times 200 < I_{set} < 50\% \times 200$$

$$20 < I_{set} < 100$$

$$\frac{20}{50} \text{ In} < \text{Tap} < \frac{100}{50} \text{ In}$$

$0,4 \text{ In} < \text{Tap} < 2 \text{ In}$
(range : 0,001 In sampai 1.5 In, dengan step 0.001 In)
Dipilih tap = 0,5 In
Iset = 25 A

Time delay
Dipilih time delay = 0,1 s

- **Relay 8**
Manufacturer : Schneider Electric
Model : Sepam Series 10
Arus maksimum NGR pada
ZIGZAG TR : 200 A
Curve Type : *Definite*
CT Ratio : 50 / 1

Instantaneous Pickup
5-10% Arus maksimum NGR $< I_{set} < 50\%$ Arus maksimum NGR
 $5-10\% \times 200 < I_{set} < 50\% \times 200$
 $20 < I_{set} < 100$
 $\frac{20}{50} \text{ In} < \text{Tap} < \frac{100}{50} \text{ In}$
 $0,4 \text{ In} < \text{Tap} < 2 \text{ In}$
(range : 0,004 In sampai 0.5 In, dengan step 0.001 In)
Dipilih tap = 0,5 In
Iset = 25 A

Time delay
Dipilih time delay = 0,1 s

- **Relay 5**
Manufacturer : General Electric Multilin
Model : 345
Arus maksimum NGR pada
ZIGZAG TR : 200 A
Curve Type : *Definite*
CT Ratio : 50 / 1

Instantaneous Pickup

5-10% Arus maksimum NGR < I_{set} < 50% Arus maksimum NGR

$$5-10\% \times 200 < I_{set} < 50\% \times 200$$

$$20 < I_{set} < 100$$

$$\frac{20}{50} \text{ In} < \text{Tap} < \frac{100}{50} \text{ In}$$

$$0,4 \text{ In} < \text{Tap} < 2 \text{ In}$$

(range : 0,005 In sampai 3 In, dengan step 0,001 In)

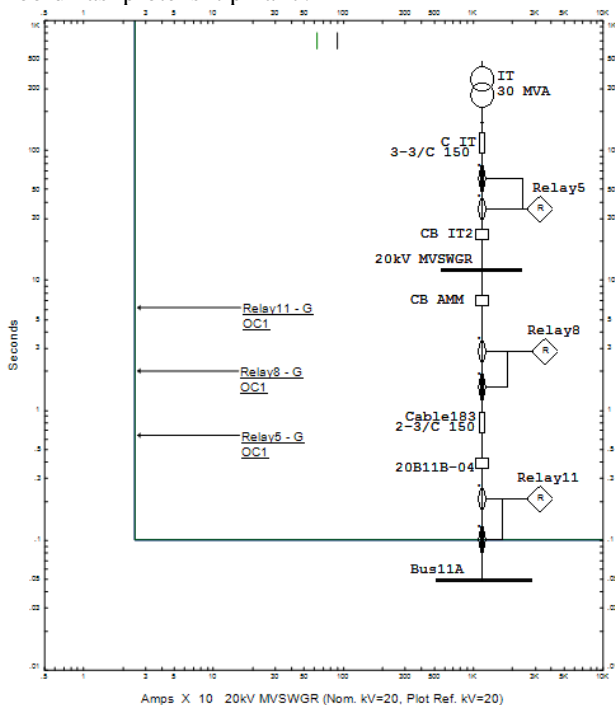
Dipilih tap = 0,5 In

$I_{set} = 25 \text{ A}$

Time delay

Dipilih time delay = 0,1 s

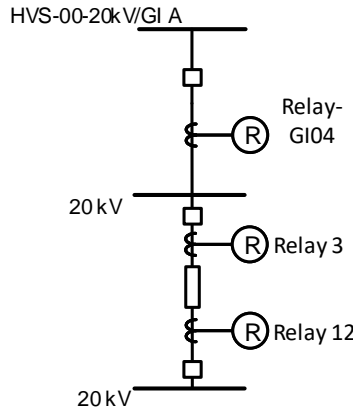
Gambar 4.17 merupakan plot Time Current Curve hasil perhitungan dan setting koordinasi proteksi tipikal 7.



Gambar 4.17 Plot Time-current curve tipikal 7

4.6.2 Koordinasi Rele Arus Lebih Gangguan Tanah Tipikal 6

Koordinasi rele arus lebih gangguan ke tanah tipikal 6 merupakan koordinasi dari bus HVS-00-20kV/GI A sampai dengan Bus11A yang terdapat pada sistem kelistrikan pabrik Amurea II. Pada tipikal 6, rele yang akan diatur meliputi Relay-GI04, Relay3, dan Relay12. Gambar *single line diagram* dari tipikal 6 ditunjukkan pada Gambar 4.18.



Gambar 4.18 Rangkaian *single line diagram* tipikal 6

Berikut merupakan perhitungan parameter yang diperlukan untuk *setting* dari masing-masing rele arus lebih gangguan ke tanah yang terdapat pada tipikal 6.

- **Relay-GI04**

<i>Manufacturer</i>	: Merlin Gerin
<i>Model</i>	: Sepam 40
Arus maksimum NGR pada	
ZIGZAG TR	: 200 A
<i>Curve Type</i>	: <i>Definite</i>
<i>CT Ratio</i>	: 50 / 1

Instantaneous Pickup

$$5\text{-}10\% \text{ Arus maksimum NGR} < I_{set} < 50\% \text{ Arus maksimum NGR}$$

$$5\text{-}10\% \times 200 < I_{set} < 50\% \times 200$$

$$20 < I_{set} < 100$$

$$\frac{20}{50} \text{ In} < \text{Tap} < \frac{100}{50} \text{ In}$$

$$0,4 \text{ In} < \text{Tap} < 2 \text{ In}$$

(range : 0,1 In sampai 15 In)

Dipilih tap = 0,5 In

Iset = 25 A

Time delay

Dipilih time delay = 0,5 s

- **Relay 3**

<i>Manufacturer</i>	: Schneider Electric
<i>Model</i>	: Sepam Series 10
Arus maksimum NGR pada	
ZIGZAG TR	: 200 A
<i>Curve Type</i>	: <i>Definite</i>
<i>CT Ratio</i>	: 50 / 1

Instantaneous Pickup

5-10% Arus maksimum NGR < I_{set} < 50% Arus maksimum NGR

$$5-10\% \times 200 < I_{set} < 50\% \times 200$$

$$20 < I_{set} < 100$$

$$\frac{20}{50} \text{ In} < \text{Tap} < \frac{100}{50} \text{ In}$$

$$0,4 \text{ In} < \text{Tap} < 2 \text{ In}$$

(range : 0,004 In sampai 0.5 In, dengan step 0.001 In)

Dipilih tap = 0,5 In

Iset = 25 A

Time delay

Dipilih time delay = 0,3 s

- **Relay 12**

<i>Manufacturer</i>	: Siemens
<i>Model</i>	: 7SJ62
Arus maksimum NGR pada	
ZIGZAG TR	: 200 A
<i>Curve Type</i>	: <i>Definite</i>
<i>CT Ratio</i>	: 50 / 1

Instantaneous Pickup

5-10% Arus maksimum NGR < I_{set} < 50% Arus maksimum NGR

$$5-10\% \times 200 < I_{set} < 50\% \times 200$$

$$20 < I_{set} < 100$$

$$\frac{20}{50} \text{ In} < \text{Tap} < \frac{100}{50} \text{ In}$$

$$0,4 \text{ In} < \text{Tap} < 2 \text{ In}$$

(range : 0,001 In sampai 1.5 In, dengan step 0,001 In)

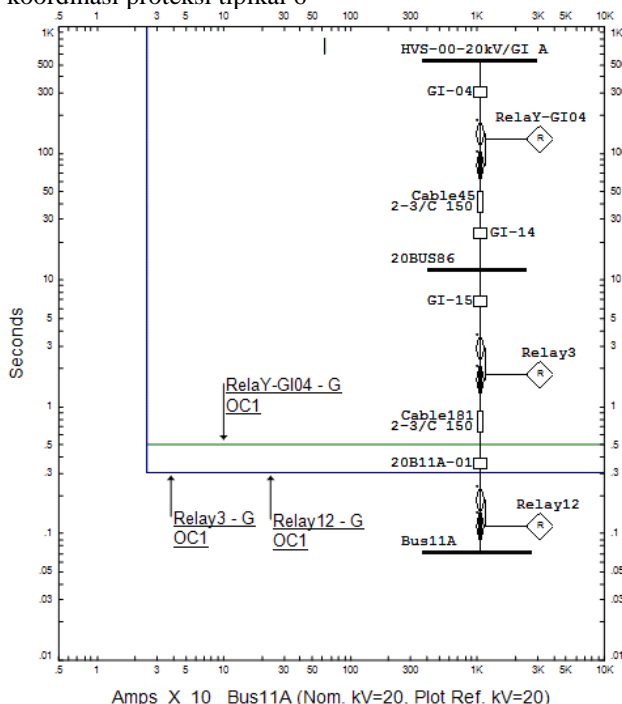
Dipilih tap = 0,5 In

$I_{set} = 25 \text{ A}$

Time delay

Dipilih time delay = 0,3 s

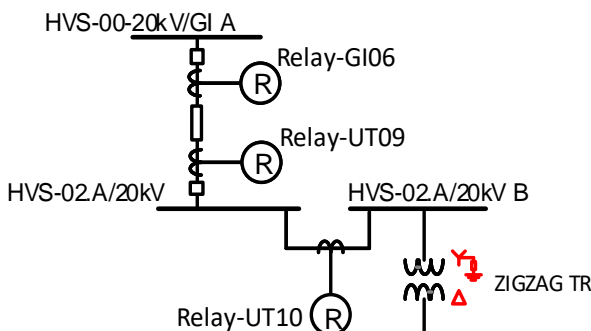
Gambar 4.19 merupakan *plot Time Current Curve* hasil perhitungan dan setting koordinasi proteksi tipikal 6



Gambar 4.19 Plot Time-current curve tipikal 6

4.6.3 Koordinasi Rele Arus Lebih Gangguan Tanah Tipikal 5

Koordinasi rele arus lebih gangguan ke tanah tipikal 5 merupakan koordinasi dari bus terdapatnya transformator zigzag yaitu bus HVS-02.A/20kV B sampai dengan bus HVS-00-20kV/GI A. Pada tipikal 5, rele yang akan diatur meliputi Relay-UT10, Relay-UT09, dan Relay-GI06. Gambar *single line diagram* dari tipikal 5 ditunjukkan pada Gambar 4.20.



Gambar 4.20 Rangkaian *single line diagram* tipikal 5

Berikut merupakan perhitungan parameter yang diperlukan untuk *setting* dari masing-masing rele arus lebih gangguan ke tanah yang terdapat pada tipikal 5.

- **Relay-UT10**

<i>Manufacturer</i>	: Merlin Gerin
<i>Model</i>	: Sepam 40
Arus maksimum NGR pada ZIGZAG TR	: 200 A
<i>Curve Type</i>	: <i>Definite</i>
<i>CT Ratio</i>	: 50 / 1

Instantaneous Pickup

5-10% Arus maksimum NGR < I_{set} < 50% Arus maksimum NGR

$$5-10\% \times 200 < I_{set} < 50\% \times 200$$

$$20 < I_{set} < 100$$

$$\frac{20}{50} In < Tap < \frac{100}{50} In$$

$$0,4 In < Tap < 2 In$$

(range : 0,1 In sampai 50 In, dengan step 0,1 In)

Dipilih tap = 0,5 In

Iset = 25 A

Time delay

Dipilih time delay = 0,9 s

- **Relay-UT09**

Manufacturer : Merlin Gerin

Model : Sepam 40

Arus maksimum NGR pada

ZIGZAG TR : 200 A

Curve Type : *Definite*

CT Ratio : 50 / 1

Instantaneous Pickup

5-10% Arus maksimum NGR < I_{set} < 50% Arus maksimum NGR

$$5-10\% \times 200 < I_{set} < 50\% \times 200$$

$$20 < I_{set} < 100$$

$$\frac{20}{50} \text{In} < \text{Tap} < \frac{100}{50} \text{In}$$

$$0,4 \text{ In} < \text{Tap} < 2 \text{ In}$$

(range : 0,1 In sampai 50 In, dengan step 0,1 In)

Dipilih tap = 0,5 In

Iset = 25 A

Time delay

Dipilih time delay = 0,7 s

- **Relay-GI06**

Manufacturer : Merlin Gerin

Model : Sepam 1000

Arus maksimum NGR pada

ZIGZAG TR : 200 A

Curve Type : *Definite*

CT Ratio : 50 / 1

Instantaneous Pickup

5-10% Arus maksimum NGR < I_{set} < 50% Arus maksimum NGR

$$5-10\% \times 200 < I_{set} < 50\% \times 200$$

$$20 < I_{set} < 100$$

$$\frac{20}{50} \text{ In} < \text{Tap} < \frac{100}{50} \text{ In}$$

$$0,4 \text{ In} < \text{Tap} < 2 \text{ In}$$

(range : 0,05 In sampai 10 In)

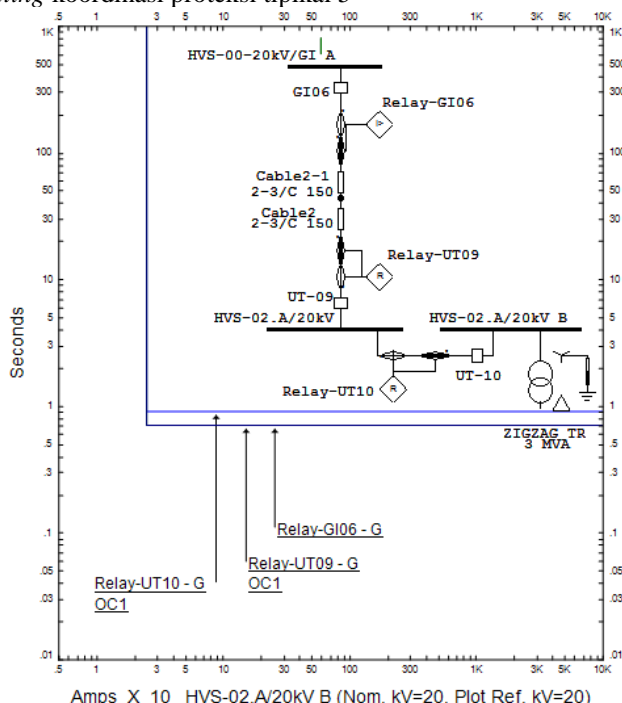
Dipilih tap = 0,5 In

$I_{set} = 25 \text{ A}$

Time delay

Dipilih time delay = 0,7 s

Gambar 4.21 merupakan *plot Time Current Curve* hasil perhitungan dan setting koordinasi proteksi tipikal 5



Gambar 4.21 Plot *Time-current curve* tipikal 5

4.7 Rekapitulasi Setting Rele Arus Lebih

Rangkuman hasil perhitungan dan *setting* rele arus lebih yang terdapat pada tugas akhir ini dimana telah dilakukan pada bagian sebelumnya dapat dirangkum dalam Tabel 4.6 sebagai berikut.

Tabel 4.6 Tabel Rekapitulasi *Setting* Rele Arus Lebih

Relay ID	Bus	CT	Manufact. /Tipe	Setting			
				ANSI Code	Parameter	Nilai	
Relay 11	Bus11A	800/1	Siemens / 7SJ62	50	Ip	2.31	
					Td	0.3	
				51	Ip	0.8	
		50/1			T	0.21	
				50G	Ip	0.5	
					Td	0.1	
Relay 8	20kV MVSWGR	500/1	Schneider Electric / Sepam Series 10	50	Ip	3.7	
					Td	0.3	
				51	Ip	1.28	
		50/1			T	0.21	
				50G	Ip	0.5	
					Td	0.1	
Relay 5	20kV MVSWGR	800/1	GE Multilin / 345	50	Ip	2.32	
					Td	0.5	
				51	Ip	1.2	
		50/1			T	0.2	
				50G	Ip	0.5	
					Td	0.1	
Relay 2	11kV MVSWGR	1800/1	GE Multilin / 345	50	Ip	2.4	
					Td	0.7	
		1800/1		51	Ip	0.96	
					T	0.3	
Relay 4	11kV MVSWGR	1800/1	GE Multilin / 489	50	Ip	2.5	
					Td	0.9	
		800/1		51	Ip	1	
					T	0.4	
Relay 12	Bus11A	50/1	Siemens / 7SJ62	50	Ip	2.5	
					Td	0.3	
				51	Ip	0.8	
		800/1			T	0.42	
				50G	Ip	0.5	
					Td	0.3	

Tabel 4.6 Tabel Rekapitulasi *Setting* Rele Arus Lebih (lanjutan)

Relay ID	Bus	CT	Manufact./Tipe	Setting			
				ANSI Code	Parameter	Nilai	
Relay 3	20BUS86	500/1	Schneider Electric / Sepam Series 10	50	Ip	4	
					Td	0.3	
	20BUS86	50/1		51	Ip	1.28	
					T	0.42	
				50G	Ip	0.5	
					Td	0.3	
Relay-GI04	20BUS86	800/5	Merlin Gerin / Sepam 40	50	Ip	2.7	
					Td	0.5	
	20BUS86	50/1		51	Ip	0.9	
					T	0.71	
				50G	Ip	0.5	
					Td	0.5	
Relay-GI02	HVS-00-20kV/GI A	1000/5	Merlin Gerin / Sepam 1000	50	Ip	5	
					Td	0.9	
				51	Ip	0.8	
					T	0.23	
Relay-GI11	Bus11	800/5	Merlin Gerin / Sepam 1000	50	Ip	3.1	
					Td	0.3	
				51	Ip	1.85	
					T	0.3	
Relay-CB5	BUS GTG	2500/5	Merlin Gerin / Sepam 1000	50	Ip	1	
					Td	0.3	
				51	Ip	0.6	
					T	0.3	
Relay-GI08	HVS-00-20kV/GI B	800/5	Merlin Gerin / Sepam 1000	50	Ip	2.5	
					Td	0.5	
				51	Ip	1	
					T	0.7	
Relay CB-1	BUS GTG	3000/5	Merlin Gerin / Sepam 1000	50	Ip	2.1	
					Td	0.5	
				51	Ip	0.75	
					T	0.6	

Tabel 4.6 Tabel Rekapitulasi *Setting* Rele Arus Lebih (lanjutan)

Relay ID	Bus	CT	Manufact. /Tipe	Setting			
				ANSI Code	Parameter	Nilai	
Relay-UT04	HVS-00-20kV/UT-L-P B	300/5	Merlin Gerin / Sepam 1000	50	Ip	8	
					Td	0.1	
				51	Ip	0.85	
					T	0.2	
Relay-UT8	HVS-00-20kV/UT-L-P B	1200/5	Merlin Gerin / Sepam 1000	50	Ip	1.9	
					Td	0.3	
				51	Ip	0.6	
					T	0.4	
Relay-UT09	HVS-02.A/20kV	1200/5	Merlin Gerin / Sepam 40	50	Ip	6.5	
					Td	0.5	
				51	Ip	0.6	
		50/1			T	0.6	
		50G		Ip	0.5		
				Td	0.7		
Relay-GI06	HVS-00-20kV/GI A	600/5	Merlin Gerin / Sepam 1000	50	Ip	3.9	
					Td	0.5	
				51	Ip	1.2	
		50/1			T	0.6	
		50G		Ip	0.5		
				Td	0.7		
Relay-UT10	HVS-02.A/20kV	50/1	Merlin Gerin / Sepam 40	50G	Ip	0.5	
					Td	0.9	

Halaman Ini Sengaja Dikosongkan

BAB 5

PENUTUP

5.1. Kesimpulan

Berdasarkan hasil *setting* koordinasi rele pengaman pada PT. Petrokimia Gresik setelah pembangunan pabrik Amurea 2 dan Pembangkit *Gresik Gas Cogeneration Plant* (GGCP), dapat diambil beberapa kesimpulan sebagai berikut:

1. Pada *setting* rele arus lebih gangguan fasa tipikal 1, telah dilakukan pengaturan rele arus lebih fasa yang tepat mulai dari rele pelindung bus 11A sampai dengan rele pelindung pembangkit GGCP. Pada tipikal ini terdapat Relay 2 sebagai pelindung transformator IT dimana setelah dilakukan pengecekan kondisi rele pelindung transformator, setting *time delay* dari rele tersebut tidak dapat kembali menjadi 0.1 detik melainkan harus melanjutkan koordinasi dari rele dibawahnya sehingga *time delay* yang diatur pada Relay 2 menjadi 0.7 detik.
2. Pada *setting* arus lebih gangguan fasa tipikal 2, telah dilakukan pengaturan koordinasi rele arus lebih fasa dari Bus11A pada pabrik Amurea 2 sampai dengan rele pelindung sisi sekunder transformator TR PLN. Pada tipikal ini telah dilakukan perhitungan dan *setting* yang tepat sehingga pada saat terjadi gangguan fasa minimum maka rele yang berada di dekatnya dapat bekerja sesuai koordinasi yang diinginkan.
3. Pada *setting* arus lebih gangguan fasa tipikal 3, telah dilakukan pengaturan koordinasi rele arus lebih fasa dari bus HVS-00-20kV/GI B sampai dengan BUS GTG yang terdapat pada pabrik 1. Tipikal ini merupakan saluran penghubung antara feeder PLN dengan pabrik 1, dimana kemudian telah dilakukan perhitungan dan *setting* koordinasi rele yang tepat antara *feeder* PLN dengan sistem kelistrikan Pabrik 1 agar keandalan dan kontinuitas daya listrik pada pabrik 1 tetap terjaga setelah dibangunnya pabrik Amurea 2 dan pembangkit GGCP.
4. Pada *setting* arus lebih gangguan fasa tipikal 4, telah dilakukan pengaturan koordinasi rele arus lebih fasa dari bus HVS-00-20kV/GI A sampai dengan rele pelindung sisi primer transformator TR12 yang terdapat pada pabrik 2. Pada tipikal ini telah dilakukan perhitungan dan *setting* koordinasi rele yang tepat

antara *feeder* PLN dengan sistem kelistrikan Pabrik 2 agar keandalan dan kontinuitas daya listrik pada pabrik 1 tetap terjaga setelah dibangunnya pabrik Amurea 2 dan pembangkit GGCP.

5. Pada *setting* rele arus lebih gangguan ke tanah yang tercakup dalam tipikal 5,tipikal 6, dan tipikal 7, telah dilakukan *setting* koordinasi rele arus lebih gangguan ke tanah antara ZIGZAG TR sampai dengan sisi sekunder transformator IT yang terdapat pada sistem kelistrikan pabrik Amurea 2 dan pembangkit GGCP. Pada sistem kelistrikan PT. Petrokimia gresik, hanya terdapat *neutral grounding resistor* (NGR) pada transformator ZIGZAG TR. Dikarenakan penggunaan NGR tersebut, dalam proses perhitungan dan *setting pick up instantaneous* diasumsikan arus hubung singkat *line-to-ground* yang mengalir adalah arus maksimum yang mengalir pada NGR ZIGZAG TR. Pada perhitungan tipikal ini didapatkan nilai $Iset = 25A$ dengan *grading time* 0.2s.

5.2 Saran

Mengacu pada hasil studi koordinasi proteksi sistem kelistrikan PT. Petrokimia Gresik yang telah dilakukan, saran yang dapat menjadi masukan untuk menjaga kontinuitas suplai daya dan keandalan sistem adalah sebagai berikut :

1. Pada *setting* rele proteksi *ground fault* direkomendasikan menggunakan kurva definit dengan *pick up* yang sama karena besarnya arus gangguan dianggap sesuai dengan NGR yang digunakan sehingga koordinasi cukup memperhatikan grading time saja.
2. *Setting* rele baru yang terdapat pada tugas akhir ini, yaitu rele yang terdapat pada sistem kelistrikan pabrik Amurea II dan pembangkit GGCP dapat dijadikan pertimbangan dan referensi untuk melakukan *setting* yang sebenarnya.
3. *Setting* rele lama (*existing*) yang terdapat pada tugas akhir ini, dapat digunakan sebagai perbandingan dan referensi bagi *setting* rele yang sebenarnya.

DAFTAR PUSTAKA

1. IEEE Std 242-2001™, “*IEEE Recommended Practice for Protection and Coordination of Industrial and Commercial Power Systems*”, The Institute of Electrical and Electronics Engineers, Inc., New York, Ch. 15, 2001
2. Wahyudi, ”*Diktat Kuliah Pengaman Sistem Tenaga Listrik*”, Teknik Elektro ITS, Surabaya, Bab 2, 2004
3. Cahier Technique No. 158, “*Calculation of Short-circuit Currents*”, Schneider Electric, 2005
4. Anderson, P.M, “*Power System Protection*”, John Wiley & Sons, Inc., Canada, Ch. 3, 1998
5. Gers, Juan M., dan Holmes, Edward J., “*Protection of Electrical Distribution Network 2nd Edition*”, The Institution of Electrical Engineers, London, Ch. 5, 2004
6. Gurevich, Vladimir, “*Electric Relays, Principle and Application*”, CRC Press, USA, Ch. 10, 2006
7. Shen, M., Ingratta, L., dan Roberts, G., “*Grounding Transformer Application, Modeling, and Simulation*”, 2008.
8. Detjen, Edson R., dan Shah, Kanu R., “*Grounding Transformer Applications and Associated Protection Schemes*”, 1992.
9. ETAP. “*Modelling A Zig-Zag Grounding Transformer in ETAP*”, 2002.
10. Schneider Electric, SEPED307003, ”*Electrical Network Protection Sepam Series 10 Reference Manual*”, 2008.
11. General Electric, GEK-113568C , „*GE Digital Energy Multilin 345 Transformer Protection System, Transformer Protection and Control Instruction Manual.*” , 2011.
12. General Electric, GEK-106494-AE , “*GE Digital Energy Multilin 489 Generator Management Relay Instruction Manual.*” , 2010.
13. Siemens SIP. Edition no. 7, “*Overcurrent Protection / 7SJ62, SIPROTEC 4 7SJ62 multifunction protection relay.*”
14. Schneider Electric, 63230-216-219-B1, “*Sepam™ Series 40 Protective Relays User’s Manual.*”, 2007.
15. Schneider Electric, Technical Bite, “*Protective Relay Setting, Understanding The IEC Based IDMT Setting of Phase Over-Current (51) Protection for SEPAM Protective Relay.*” , 2008.

Halaman ini sengaja dikosongkan

BIOGRAFI PENULIS



Teuku Muhammad Kemal Isfan, dilahirkan di kota Jakarta pada tanggal 24 Desember 1995. Merupakan anak kedua dari pasangan Teuku Derry Ananta dan Yenni Vitaria. Penulis telah menempuh pendidikan selama 14 tahun (TK-SD-SMP-SMA) di kota Jakarta. Penulis mulai jenjang pendidikan di TK Bhakti YKKP pada tahun 1999-2001, SD Bhakti YKKP pada tahun 2001-2007, SMP Islam Al-Azhar 1 tahun ajaran 2007-2010 dan SMA Negeri 8 Jakarta pada tahun 2010-2013 dan sejak 2013 menempuh pendidikan sebagai mahasiswa bidang studi Teknik Sistem Tenaga, Departemen Teknik Elektro, Fakultas Teknologi Elektro, Institut Teknologi Sepuluh Nopember (ITS), Surabaya. Selama kuliah, penulis aktif sebagai asisten Laboratorium Instrumentasi Pengukuran dan Identifikasi Sistem Tenaga (Lipist B204).Penulis dapat dihubungi melalui email Kemal_2412@hotmail.com.